

# زمین‌شیمی و سنگ‌شناسی توالی گوشه‌ای در افیولیت‌های نائین

نوشته: محمد رهگشای<sup>\*</sup>، جواد مهدی پور قاضی<sup>\*</sup>، هادی شفائی مقدم<sup>\*</sup>

<sup>\*</sup> دانشکده علوم زمین، دانشگاه شهید بهشتی، تهران، ایران

<sup>\*</sup> دانشکده علوم زمین، دانشگاه علوم پایه دامغان، دامغان، ایران

تاریخ پذیرش: ۱۳۸۶/۰۸/۲۱

## چکیده

توالی گوشه‌ای مجموعه افیولیتی نائین علاوه بر پریدوتیت‌ها (هارزبوزرژیت‌های Cpx‌دار، لرزولیت‌ها و به طور محلی ورلیت‌ها و دونیت‌ها) از گابروهای پگماتیتی، لکه‌های گابرویی، دایک‌های گابرویی-دیابازی، پیروکسنیتی و وسترتیتی تشکیل شده است. مطالعات سنگ‌شناسی و زمین‌شیمیایی، بیشتر پریدوتیت‌های این منطقه را هارزبوزرژیت‌های Cpx‌دار معرفی کرده است که دارای اسپین‌های غنی از آلمونیم، با عدد کروم  $\text{Cr} \# = 16/12-41/55$  است که در دمای حدود  $1000^{\circ}\text{C}$  به تعادل رسیده‌اند. گابروهای پگماتیتی به صورت ابناهای کوچک درون پریدوتیت‌ها دیده شده که دارای Cpx و پلاژیوکلاز دگر‌شکل شده هستند. دایک‌های گابرویی و دیابازی به طور عموم رودنگیتی شده‌اند و درون پریدوتیت‌ها بدون حاشیه سرد نفوذ کرده‌اند. این دایک‌ها از نظر زمین‌شیمیایی با گدازه‌های بالشی (پیلولاوها) و میکروگابروهای توالی پوسته‌ای هم منشاً بوده اما در صدهای متفاوت ذوب بخشی را نشان می‌دهند. همچنین بر اساس زمین‌شیمی سنگ‌های مافیک و پریدوتیت‌ها، می‌توان افیولیت نائین را مرتبط به گسترش یک حوضه پشت کمان دانست.

**کلید واژه‌ها:** توالی گوشه‌ای، پریدوتیت، ذوب بخشی، حوضه پشت کمان، افیولیت نائین

## روش مطالعه

پس از مطالعات صحرایی، از حدود ۷۰ نمونه سنگی مقطع نازک و صیقلی برای مطالعات سنگنگاری و تجزیه‌های شیمیایی کانیایی تهیه شده است. همه تجزیه‌های کانیایی در داشگاه نانسی فرانسه با دستگاه الکترون میکروپ Sx-50 با Cameca KeV ۱۰ و جریان ۱۲ nA صورت گرفته است. تجزیه شیمیایی حدود ۳۰ نمونه سنگی به روش ICP-AES و CP-AES در آزمایشگاه زمین‌شیمی داشگاه زمین‌شناسی استراسبورگ فرانسه (Centre de Geochimie de La Surface, Strasbourg) انجام استراسبورگ فرانسه (Centre de Geochimie de La Surface, Strasbourg) انجام شده است.

## مقدمه

توالی گوشه‌ای مهم‌ترین و عمده‌ترین سنگ‌شناسی موجود در هر مجموعه افیولیتی بوده که شناخت این توالی می‌تواند اطلاعات ارزشمندی را از ایجاد، مهاجرت و تحول ماده مذاب ارائه دهد. علاوه بر این، تعیین تیپ افیولیت‌ها نیز ارتباط تنگاتنگی با شناخت مجموعه گوشه‌ای دارد. از سوی دیگر، درجه غنی شدگی و یا تهی شدگی توالی گوشه‌ای (از عناصر ناسازگار) نیز می‌تواند اطلاعات جامعی در مورد مذاب ایجاد شده ارائه دهد.

مجموعه افیولیتی نائین در شمال باخته بلوك لوت، بخشی از کمرنند افیولیتی نائین - بافت است که در امتداد گسل امتداد لغز نائین - بافت رخنمون دارد. زمین‌شناسی این منطقه توسط Davoudzadeh (1972) بررسی شده است. تاکنون بحث‌های متعددی درباره محیط پیدایش این مجموعه افیولیتی مطرح شده که بیشتر مطالعات بر منشأ گرفتن کمرنند افیولیتی نائین - بافت از یک پوسته اقینوسی باریک و کم‌زرفا تأکید کرده‌اند (Berberian & King, 1981; Arvin & Robinson, 1996). از سوی Berberian & King, 1981; Arvin & Robinson, 1996; Ghazi & Hassanipak, 2000; Babaie et al., 2001 دیگر، مطالعات جدید، این افیولیت‌ها (نائین - بافت) را مرتبط با گسترش یک حوضه پشت کمانی بین بلوك لوت و حاشیه فعال ایران مرکزی (زون سنتدج - سیرجان) دانسته‌اند (Shahabpour, 2004; Agard et al., 2006). این مجموعه مشکل از ورقه‌های روی هم رانده شده‌ای از پریدوتیت - سرپانتینت بوده که در خاور توسط واحدهای رسوبی ترشیری و در باخته توسط واحدهای آتششانی ترشیری احاطه شده‌اند (Davoudzadeh, 1972). مرز واحدها در این مجموعه، زمین‌ساختی است و رانده شدن مکرر واحدهای افیولیتی بر روی یکدیگر در اثر عملکرد گسل‌های رانده شده این واحدهای افیولیتی بر روی یکدیگر در اثر عملکرد گسل‌های رانده شده اند. این واحدهای افیولیتی، ساختارهای دوپلکسی را به وجود آورده است (شکل ۱). پریدوتیت‌های این اصلی، ساختارهای دوپلکسی از هارزبوزرژیت‌های دارای کلینوپیروکسن و لرزولیت‌ها مجموعه افیولیتی، مشکل از هارزبوزرژیت‌های دارای کلینوپیروکسن و لرزولیت‌ها است که به طور عموم سرپانتینی شده‌اند. توالی پوسته‌ای در این مجموعه افیولیتی نازک بوده و مشکل از گدازه‌های بالشی، دیابازها، گابروهای همسانگرد به همراه آهک‌های پلاژیک و چرت است.

## معرفی واحدهای توالی گوشه‌ای

### ۱- پریدوتیت‌ها

**۱-۱- توصیف و سنگنگاری:** پریدوتیت‌ها مهم‌ترین واحد توالی گوشه‌ای هستند که در این مجموعه افیولیتی به طور عموم سرپانتینی و کمتر میلونیتی شده‌اند. عدمه‌ترین سنگ‌های پریدوتیتی این مجموعه از هارزبوزرژیت‌های کلینوپیروکسن دار و لرزولیت تشکیل شده‌اند.

**- هارزبوزرژیت‌های کلینوپیروکسن دار:** در این سنگ‌ها، بلورهای دگر‌شکل شده اولویون در میان شبکه‌های سرپانتین به صورت بافت شبکه‌ای (Mesh Texture) احاطه شده‌اند. پورفیروکلاست‌های Opx به طور بخشی باستیتی شده (شکل A) و علاوه بر این، دارای تیغه‌های بروون‌رانشی (اکسولوشن) CPX هستند که در راستای نوارهای شکنجی (kink band) موجود در این پورفیروکلاست‌ها خم شده‌اند. دانه‌های کرومیت به شکل آمیبی و کرمی دیده می‌شوند. این سنگ‌ها کمتر از ۵٪ کلینوپیروکسن دارند. حضور کروم کلریت و همچنین کمتر از یک درصد دانه‌های سولفید (به طور عمدۀ کالکوپیریت) از دیگر مشخصه‌های این پریدوتیت‌ها است.

**- لرزولیت‌ها:** سرپانتینی شدن کمتری را متحمل شده‌اند و در عرض دگرسانی تالکی رانشان می‌دهند. این سنگ‌ها دارای پورفیروکلاست‌ها و نئوبلاست‌های اولویون (حاصل از تبلور دیاباز)، هستند. کلینوپیروکسن‌ها دارای رخ‌های خمیده و نوار شکنجی و برخی

در برخی از نمونه‌ها با بالا بودن مقدار CPX در این سنگ‌ها در ارتباط است، Cpx مستعدترین کانی در پذیرش عناصر HREE است. در الگوی چند عنصری بهنجار شده به گوشه اولیه بینهنجاری‌های مشبی در Ba, Pb, Sr, U, Rb دیده می‌شود که می‌تواند در ارتباط با فرایند متاسوماتیسم توسط سیال‌های مشتق شده از صفحه فروراش شده و یا در اثر پدیده سرپاتینیتی شدن باشد (شکل ۳A).

## ۲- پیروکسنیت‌ها و وستربیت‌ها

**- توصیف و سنگ‌نگاری:** پیروکسنیت‌ها و وستربیت‌ها به صورت دایک، عدسی و یا تجمع‌های کوچکی در پریدوتیت‌های توالی گوشه‌ای مجموعه افیولیتی نائین دیده می‌شوند. این واحدهای سنگی در برخی موارد بافت انباسته‌ای (کومولاپی) (شکل ۲C) و در برخی موارد دیگر بافت میلوبنیتی نشان می‌دهند. بلورهای اولیوین در این سنگ‌ها به دو صورت دیده می‌شوند: ۱- به صورت دانه‌های بزرگ و گردشده در اولیوین وستربیت‌ها. در این مورد، شکل دانه‌های کلینوپیروکسن و ارتوبیروکسن از فضای حفظ شده بین بلورهای اولیوین پیروی می‌کند، یعنی به صورت فاز اینترکومولوسی در فضای بین اولیوین‌ها تشکیل شده‌اند. پیروکسن‌ها آثاری از دگرشکلی پلاستیک (به صورت خاموشی موجی، نوارشکنی و غیره) را نشان نمی‌دهند. ۲- به شکل بلورهای دانه ریز و گردشده که به صورت چادوکریست (Chadocryst)، یا به صورت پویی کیلیتیکی، در ایکوکریست‌های (Oikocryst) کلینوپیروکسن و ارتوبیروکسن دیده می‌شوند. به نظر می‌رسد که این تیپ از پیروکسنیت‌ها در ادامه افزایش حجم مذاب ایجاد کننده آلودگی‌های ماگمایی در پریدوتیت‌های توالی گوشه‌ای ایجاد شده‌اند.

**- زمین‌شیمی کانیایی:** اولیوین‌ها در این سنگ‌ها به طور عموم ترکیب فورستریتی (۸۵-۸۶ درصد) و مقادیر NiO کمتر از (wt.%: ۰/۴۷۸) دارند.

**- زمین‌شیمی کل سنگ:** مقادیر O<sub>3</sub> در پیروکسنیت‌ها پایین، و به طور میانگین به ترتیب (% wt) ۱۰/۲۴ و ۱۰/۲۲ است. مقادیر این اکسیدها در اولیوین وستربیت‌ها نسبت به پیروکسنیت‌ها بالاتر بوده و به ترتیب (% wt) ۹/۳۶ و ۱۳/۱۲ است. عدد منیزیم این سنگ‌ها در طیفی بین ۷۳-۷۰٪ در تغییر است. الگوی بهنجار شده REE‌های این سنگ‌ها تهی شدگی در تمام این عناصر را نشان می‌دهند. نسبت La<sub>(N)</sub>/Yb<sub>(N)</sub> در طیفی بین ۰/۳-۰/۱۴ متفاوت است. غنی شدگی در P, K, Pb, U, Ba, Ti, Nd, Nb, Th است (شکل ۳B).

## ۳- آلودگی‌های گابروبی

**- توصیف و سنگ‌نگاری:** اگر ماده مذاب نتواند راه خود را در پریدوتیت‌ها به صورت شکستگی‌های موین (hydraulic fracturing) باز نماید، در پریدوتیت‌ها منتشر شده و تولید آلودگی می‌کند. این پدیده به طور عموم به سبب ژرفای زیاد (در نتیجه فشار زیاد) پریدوتیت‌ها اتفاق می‌افتد (Nicolas, 1989). این سنگ‌ها در مشاهدات صحرایی با گسترش نوارهای و پلازیوکلازی در پریدوتیت‌ها شناخته شده‌اند (شکل ۲E). کلینوپیروکسن‌ها در آلودگی‌های گابروبی شامل دو نوع‌اند: ۱- کلینوپیروکسن‌هایی که دارای رخ‌های خمیده و یا نوارشکنی بوده و می‌تواند نشانگر تراوش ماگمایی به صورت خمیر مذاب باشند. ۲- کلینوپیروکسن‌هایی که فاقد نوارشکنی بوده و حاصل تبلور دوباره در اثر دگرگونی گوشه‌ای آن. بیشتر پلازیوکلازها در اثر تأثیر محلول‌ها دگرسان شده‌اند (شکل ۲D, F) و اما در بیشتر پلازیوکلازهای سالم دوقلوهای مکانیکی دیده می‌شوند که نشان دهنده آن است

از آنها دارای میانهای از اولیوین هستند. سه نوع لرزولیت بر اساس کانی‌های فرعی تشخیص داده شده است: ۱- آمفیبول لرزولیت‌ها که دارای نیوبلاست‌های آمفیبول به صورت فاز بین دانه‌ای هستند. این نوع لرزولیت‌ها، بیگانه‌سنگ‌های پریدوتیتی هستند که در توده‌های گابروبی یافت می‌شوند. ۲- اسپینل لرزولیت‌ها دارای کروم اسپینل به صورت بلورهای خود شکل با رنگ قهوه‌ای روشن (با ترکیب پیکوتیت) (شکل ۲B). ۳- پلازیوکلاز- اسپینل لرزولیت‌ها که در این مورد، تصور بر این است که پریدوتیت‌های ژرف پلازیوکلازدار محصولات آلودگی یک پریدوتیت باقیمانده بدون پلازیوکلاز، توسط مذاب‌های بازالتی است (Cannat, 1997).

**- ورلیت‌ها:** ورلیت‌ها به صورت دایک‌های تریکی با حاشیه و دیواره واضح به طور محدود دیده می‌شوند. این دایک‌های ورلیتی در هارزبورژیت‌های بهشت تهی شده تزریق شده‌اند. این ورلیت‌ها دارای پورفیر و کلاست‌های اولیوین، Cpx و کمتر از ۵٪ Opx هستند. از ویژگی‌های مهم این مجموعه، میلوبنیتی شدن و تبلور دوباره دینامیکی شدید است. پورفیر و کلاست‌های اولیوین و Cpx به شدت دگرشکل بوده و نوارشکنی نشان می‌دهند.

**- دونیت‌ها:** به طور محدود در منطقه دیده می‌شوند که به شدت سریانیتی شده (فاقد باستیت) بوده و دارای بلورهای خود شکل کرومیت هستند. پیوستگاه سه گانه (Triple Junction) (با زاویه ۱۲۰ درجه در بین ریختنما (pseudomorph) های اولیوین دیده می‌شود. **- ۱- زمین‌شیمی کانیایی:** مقدار NiO اولیوین‌ها در طیفی بین (۰/۵۷۳٪) و (۰/۰۵۴٪) و عدد منیزیم آنها [(Mg+Fe<sup>2+</sup>)/(Mg#)] ۹۰-۹۲٪ است و در محدوده ترکیبی فورستریت قرار می‌گیرند. ارتوبیروکسن‌ها به طور عموم استاتیت با ترکیب (۰/۴۱-۰/۰۶٪) (wt%) CaO و دارای مقدار متغیر Wo<sub>0.79</sub>En<sub>0.90</sub>Fs<sub>0.88</sub> و Wo<sub>0.79</sub>En<sub>0.90</sub>Fs<sub>0.88</sub> و Cr<sub>2</sub>O<sub>3</sub> و Al<sub>2</sub>O<sub>3</sub>) در این مذاب (wt%) ۱/۰۰-۰/۰۶٪ در تغییر است. اسپینل‌های موجود در این پریدوتیت‌ها به دو دسته خلیلی غنی از Wo<sub>47.3</sub>En<sub>49.8</sub>Fs<sub>3.3</sub> و Wo<sub>49.8</sub>En<sub>46.6</sub>Fs<sub>3.6</sub> بوده و مقدار Al<sub>2</sub>O<sub>3</sub> و Cr<sub>2</sub>O<sub>3</sub> آنها به ترتیب بین (۴/۷۶-۴/۵۵٪) (wt%) در تغییر است. اسپینل‌های موجود در این پریدوتیت‌ها به دو دسته خلیلی غنی از Al با ترکیب [Al<sub>0.74</sub>Fe<sub>0.26</sub>](Cr<sub>0.31</sub>Al<sub>1.64</sub>Fe<sub>0.04</sub>)<sub>2</sub>O<sub>4</sub>] و غنی از Cr با ترکیب [(Mg<sub>0.61</sub>Fe<sub>0.39</sub>)(Cr<sub>0.79</sub>Al<sub>1.12</sub>Fe<sub>0.33</sub>)<sub>2</sub>O<sub>4</sub>]-(Mg<sub>0.67</sub>Al<sub>1.32</sub>Fe<sub>0.03</sub>)<sub>2</sub>O<sub>4</sub>] تقسیم می‌شوند. در این اسپینل‌ها، با افزایش مقدار عدد کروم # Cr مقدار TiO<sub>2</sub> نیز افزایش می‌یابد. مقدار Cr<sub>2</sub>O<sub>3</sub> بین (۰/۳۴-۰/۰۴٪) (wt%) در این مذاب (wt%) ۳۲/۰-۵۲/۱ است. عدد کروم # Cr در این اسپینل‌ها بین (۰/۱۶-۰/۱۲٪) در تغییر است.

**- ۲- محاسبات دما‌سنجی:** برای بدست آوردن دمای تعادلی برای پریدوتیت‌های نائین از روش‌های Taylor (1998) و Brey & Kohler (1990) استفاده از روش Sachtleben & Seck (1981) که در آن ترکیب کانی‌های OPX-Cpx در فشار ۱/۵GPa نظر است، دمای بدست آمده بین C ۸۸° تا ۱۰۸° در تغییر است. در روش Brey & Kohler (1990) که بر اساس ترکیب کانی‌های OPX-CPX صورت گرفته دمایی در حدود C ۹۴° تا ۱۱۷° در بدست آمده است. برای روش Spi (1981) که بر اساس ترکیب کانی‌های Opx, Oli و Opx محاسبه می‌شود (میانگین دمایی بدست آمده برابر C ۱۲۳° است).

**- ۳- زمین‌شیمی کل سنگ:** پریدوتیت‌های توالی گوشه‌ای نائین با مقادیر بالای MgO و مقادیر پایین CaO, Al<sub>2</sub>O<sub>3</sub>, TiO<sub>2</sub> مشخص می‌شوند. عدد Mg این پریدوتیت‌ها بین (۸۰/۹۱-۸۰/۱۶٪) در تغییر است. در الگوی REE‌ها (بهنجار شده نسبت به کندریت) برای پریدوتیت‌ها، تهی شدگی در تمام REE‌ها با شبکه منفی از HREE به Dide می‌شود. بالاتر بودن مقادیر HREE‌ها

- زمین‌شیمی کل ستگ: مقدار  $\text{Al}_2\text{O}_3$ ,  $\text{CaO}$ ,  $\text{TiO}_2$ ,  $\text{La}_{(\text{N})}/\text{Yb}_{(\text{N})}$  در طیفی بین ۴۲-۹۹٪ در نوسان است. الگوی پراکندگی REE‌ها در طیفی بین ۰-۶۰٪ در تغییر است. (بهنجارشده به کندریت) برای دایک‌های دیابازی به نسبت مسطح بوده که این امر با غنی شدنگی در  $\text{Nb}$ ,  $\text{Ta}$ ,  $\text{U}$ ,  $\text{Pb}$ ,  $\text{Ba}$ ,  $\text{Rb}$  (LREE) و تهی شدنگی در  $\text{Nb}$ ,  $\text{Ta}$ ,  $\text{U}$ ,  $\text{Pb}$ ,  $\text{Ba}$ ,  $\text{Rb}$  (MREE) مطابقت دارد.

## مقایسه با توالی یوسته‌ای

میکرو گابروها و گدازهای بالشی از سنگ‌های مافیک توالی پوسته‌ای هستند که به طور محدود در این منطقه گسترش یافته‌اند. میکرو گابروها دارای الگوی REE تقریباً مسطح بوده که در Ta, Nb, La, Yb می‌هنجاري منفی و در پیشتر عناصر LIL می‌هنجاري مثبت نشان می‌دهند (شکل ۳G). نسبت  $(\text{La}_{(\text{N})}/\text{Yb}_{(\text{N})})$  در این سنگ‌ها در طیفی میان ۰/۵۱ و ۰/۲۶ می‌باشد. گدازهای بالشی نیز روند مسطحی را در الگوی بهنجار شده REE ها نشان می‌دهند. همچنین گدازهای بالشی در عناصر LIL می‌هنجاري مثبت و در Nb, Ta, ۳H می‌هنجاري منفی را نشان می‌دهند (شکل ۳H). این ویژگی‌های زمین‌شیمیایی، از مشخصه بازالت‌هایی است که در محیط‌های مرتبط با فرروانش به وجود می‌آیند. نسبت  $(\text{La}_{(\text{N})}/\text{Yb}_{(\text{N})})$  بین ۰/۴۵ و ۰/۱۰ در تغییر است. دایک‌های گابرویی - دیابازی توالی گوشته‌ای به همراه میکرو گابروها و گدازهای بالشی از نظر ترکیبی در نمودار (Winchester & Floyd, 1977; Pearce, 1996) : $\text{Log}(\text{Nb/Y})-\text{Log}(\text{Zr/TiO}_2)$  در محدوده بازالت قرار گرفته‌اند (شکل ۴). همچنین بر اساس نمودارهای Zr-Nb-Y (Meschede, 1986) (شکل ۵) پیشتر نمونه‌ها گرايش به MORB و بازالت‌های Shervais, 1982 (Shervais, 1982) در نمودار  $\text{Ti/1000}$  در برابر  $\text{V}$  (شکل ۶) و همچنین در نمودار سه‌تایی Hf/3, Th, Nb/16 (Wood, 1980) (شکل ۷) سنگ‌های مافیک منطقه ویژگی‌های بین MORB و IAT را نشان می‌دهند.

سنگ زایی

مقدار # Mg در پریدوتیت‌های گوشته‌ای به طور عموم شاخصی برای تعیین درجه تهی شدگی گوشته یا درجه ذوب بخشی است به طوری که در نسبت‌های بالای #Mg، درجه ذوب بخشی بالا است (Coleman, 1977; Nicolas & Prinzhofer, 1983). علاوه بر این، از عناصر Na, Al, Cr, Ti نیز می‌توان برای تعیین درجه تهی شدگی استفاده کرد به طوری که Cr, Ni از عناصر سازگار بوده و در درجه کم ذوب بخشی در پریدوتیت میزان، باقی مانده و وارد مذاب نمی‌شوند، ولی عناصر Al, Na, Ti از عناصر ناسازگار بوده و در درجات اندک ذوب بخشی نیز وارد مذاب می‌شوند. عدد کروم # Cr اسپینل در پریدوتیت‌ها معیاری مناسب برای تعیین درجه تهی شدگی یک منع گوشته‌ای است. افزایش مقدار # Cr اسپینل در پریدوتیت‌ها نشان دهنده افزایش درجه ذوب بخشی است (Dick & Bullen, 1984; Arai, 1994) همان‌طور که نمودارهای  $(Cr^{+100})/(Cr+Al)$  در برابر  $(Mg^{+2}+Fe^{+2})/(Mg+Fe^{+2})$  برای اسپینل‌های موجود در پریدوتیت‌ها (Dick & Bullen, 1984) و نمودار عدد کروم # Cr اسپینل‌ها در برابر عدد میزیم # Mg اولیوین‌ها (Arai, 1994) مشخص است، پریدوتیت‌های منطقه مورد مطالعه بیشتر از نظر ترکیبی گرایش به پریدوتیت‌های اقیانوسی (al abyssal) داشته و درصد پایینی از ذوب بخشی در حدود ۱۷-۷٪ را نشان (peridotites) می‌دهند (شکل ۸ و ۹). الگوی REE‌های پریدوتیت‌های نائین در مقایسه با پریدوتیت‌های آلبی (Li, 1992) و پریدوتیت‌های محور میان اقیانوسی خاور آرام (Niu & Hekinian, 1997; Girardeau & Francheteau, 1993) (East Pacific Rise) روند تقریباً مشابهی را نشان می‌دهد. از سوی دیگر، این الگو نسبت به

که پریادوستیت ها در هنگام تزریق این آلدگی های گابرو بی د گر شکلی پلاستیکی نیز متتحمل می شده اند (Nicolas, 1989; Jin et al., 1994).

- **زمین شیمی کانیایی:** اولین ها در سنگ ها، ترکیبی بین ۸۵-۸۲٪ فورستریت و  $\text{NiO}$  حدود  $0.058-0.058$ ٪ دارند. کلینوپیر و کسن ها نیز دارای ترکیب  $\text{W}_{0.4754} \text{En}_{46.99} \text{Fs}_{5.47} \text{Wo}_{41.57} \text{En}_{50.65} \text{Fs}_{7.78}$  هستند. مقدار  $\text{Al}_2\text{O}_3$  و  $\text{Cr}_2\text{O}_3$  این کلینوپیر و کسن ها به ترتیب  $(\text{wt}\%) 37/76-37/76$  و  $0.06-0.06$  در تغییر است.

- **زمین شیمی کل سنگ:** مقدار عدد Mg این سنگ‌ها تغییراتی بین ۶۷/۹ و ۷۷/۴٪ را نشان می‌دهند. نسبت  $\text{La}_{(N)}/\text{Yb}_{(N)}$  برای این سنگ‌ها در حدود ۵۰/۵۳-۵۰/۰ است. این سنگ‌ها به طور عموم تهی شده در کل REE‌ها هستند. نمونه 1 BS05 نسبت به دو نمونه دیگر، تهی شدگی بیشتری را نشان می‌دهد که بینگر تفاوت در منشأ آنها همراه با درجه ذوب بخشی متفاوت است. غنی شدگی در عناصر U, Pb, Ba و تهی شدگی در Nb از مشخصه‌های این سنگ هاست (شکل ۳C).

۴- گابروهای پگماتیتی

- **توصیف و سنجگ تکاری:** به صورت انباشته‌های کوچک و پراکنده‌ای درون پریدوتیت‌ها دیده می‌شوند که به طور عموم از Cpx و پلاژیوکلاز تشکیل شده‌اند. Cpx ها به طور عموم دگر شکل بوده که نشان دهنده صعود توده گابروی پگماتیتی به صددت خم مذاب (Melt Mush) است.

- زمینی شیمی کل سنگ: مقدار # Mg محاسبه شده حدود ۶۷٪ است و الکترون REE (بهنجار شده به کندریت) برای این سنگ ها مستطیح بوده و علاوه بر این میزان کل REE ها برای گابروهای پگماتیتی پایین است که این امر به سبب کانی شناسی ساده آنها (متشكل از پلاژیوکلاز و کلینوپیروکسن) است. غنی شدگی از عناصری مانند U Pb, Sr, Cs و تنهی شدگی از عناصر Ta, Nb از ویژگی های این گابروهاست (شکل ۳D).

۵- دایک‌ها و سیل‌های گابرویی

- **توصیف و سنگ تکاری:** در پریدوتیت‌های این مجموعه افیولیتی، دایک‌ها و سیل‌های گابرویی بدون حاشیه سرد وجود دارند، که به طور معمول ریزدانه بوده و دارای کلینوپیروکسن (با میانبارهای الیوین)، پلازیوکلاز و اوپیوین است. تالک و کلسیت به صورت رگه‌هایی در آنها وجود دارد. بافت آنها عموماً اینترگرانولار است.

- زمینی شیمی کل ستگ: دارای  $\text{SiO}_2$  با مقدار میانگین  $42/5$  درصد و  $\text{TiO}_2$  پایین با مقدار میانگین  $7/8$  درصد است. الگوی بهنجار شده (کندریت) REE تقریباً مسطح است و علاوه بر این، Th, U, Pb, Sr, U هست. برای این سنگ‌ها بی هنجاری مشتبث و Nb بی هنجاری منفی را نشان می‌دهند (شکل ۳) که مشخصه ماگماهای مرتبه IAT یا IAT است.

۶- دایک‌های دیابازی

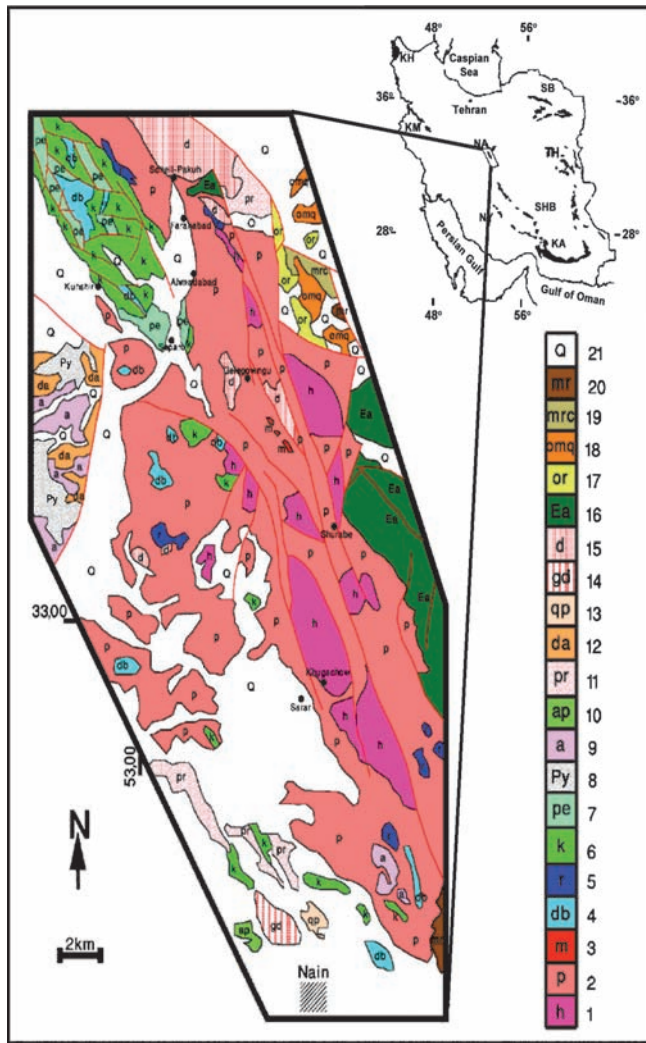
- **توصیف و سنگ نگاری:** دایک های دیبا بازی ریشه در پریدو تیت های منطقه دارد و عموماً روندگیتی شده اند. پلاژیو کلاز و کلینوپیر و کسن از کانی های اصلی است. وزوویا بیت، سرپانتین، اپیدوت، اکتنیولت، کلریت، هیدرو گروسو لاریت و پکتولیت

- زمین شیمی کائنیایی: مقدار  $\text{Al}_2\text{O}_3$ ,  $\text{TiO}_2$ ,  $\text{CaO}$  کلینوپیروکسن های موجود در دایک های دیابازی متغیر بوده و به ترتیب تغییراتی بین ۱۸/۱۳-۶۱/۲۰ (wt%) است.

می‌کنند. با توجه به این که این ویژگی‌ها بیشتر مرتبط به حوضه‌های حاشیه‌ای کششی هستند، می‌توان برای محیط تشکیل افولیت نائین، یک حوضه پشت کمانی را پیشنهاد داد.

### سپاسگزاری

از Ravaux J. در آزمایشگاه میکروپریوپ دانشگاه نانسی و az Boutin R. Thuizat R. در آزمایشگاه زمین‌شیمی دانشگاه لوئی پاستور به سبب همکاری طی تجزیه نمونه‌های این تحقیق تشکر می‌کنیم. همچنین از داوران محترم و ناشناس این مقاله، بابت رهنماوهای ارزشمندان بسیار سپاسگزاریم.



- ۱- هارزبورژیت -۲- سپاتینیت با دایک‌های دیابازی و گابروبی -۳- سنگ‌های دگرگونی
- ۴- دیاباز -۵- رادیولاریت -۶- سنگ آهک پلاژیک سنوبین - ماستریشتن
- ۷- سنگ آهک پالوسن میانی تا اونسن زیرین -۸- سنگ‌های آذرآواری‌های اونسن
- ۹- آندزیت - تراکی آندزیت -۱۰- آندزیت پورفیریت -۱۱- پورفیریت
- ۱۲- گدازه‌های داسیتی -۱۳- کواتز پورفیری -۱۴- گرانودیبوریت اولیگوسن پایینی
- ۱۵- دیبوریت -۱۶- سازند آخوره -۱۷- کنگلومرا - ماسه سنگ - مارن اولیگوسن بالایی
- ۱۸- سنگ آهک و ماسه سنگ آهکی اولیگوسن - میوسن -۱۹- کنگلومرا میوسن - پیلوسن -۲۰- سازند سرخ بالایی -۲۱- رسوبات کواترنری

شکل ۱- موقعیت منطقه مورد مطالعه در نقشه پراکندگی افولیت‌های ایران و نقشه زمین‌شناسی افولیت‌های نائین

(Godard et al., 2000) (Maqsad) و همچنین پریدوتیت‌های Wuqbah (Girardeau et al., 2002) عمان، به علت تفاوت در درجه تهی شدگی، روند متفاوتی را نشان می‌دهند (شکل ۱۰). برای به دست آوردن درصد ذوب بخشی پریدوتیت‌ها از نمودارهای لگاریتمی Yb در برابر SC (Pearce & Parkinson, 1993) V در مقایل Yb برای پریدوتیت‌های نائین نشان دهنده  $fO_2$  بالا نسبت به پریدوتیت‌های مربوط به مورب‌ها است که نشان می‌دهد پریدوتیت‌های این منطقه مربوط به پریدوتیت‌های مناطق SSZ است. بر اساس الگوی REE‌ها برای پریدوتیت‌های منطقه به کمک نمودار ارائه شده توسط (Lonov et al. (2002) Kinzler (1997) مقدار ذوب بخشی تقریباً برابر ۱۸٪ است (شکل ۱۲).

دایک‌های گابروبی - دیابازی، گدازه‌های بالشی و میکروگابرودهای REE (بهنجار شده به کندریت) روند تقریباً مسطح نسبت به کندریت رانشان می‌دهند. همچنین این سنگ‌ها در HFSE تهی شدگی و در LILE غنی شدگی را در نمودارهای چند عنصری (بهنجار شده به گوشته اولیه) نشان می‌دهند که می‌تواند مربوط با ویژگی‌های مناطق IAT باشد. سنگ‌های مافیک این منطقه ویژگی‌های سری ماقمایی تولیت‌های کم پتابیم را نشان می‌دهند و همچنین در نمودارهای تشخیص جایگاه تشکیل سنگ‌های مافیک، سنگ‌های مافیک این منطقه ویژگی مناطق MORB و IAT را نشان می‌دهند (شکل‌های ۵ و ۶). بازالت‌های مناطق پشت کمانی از نظر زمین‌شیمیایی حدوداً بین MORB و IAT هستند که این مسئله به‌احتمال می‌تواند از آبیختگی این دو ناشی شده باشد (Saunders & Tarney, 1991). با مشاهده چنین ویژگی در سنگ‌های مافیک نائین، زایش آن را می‌توان با یک محیط پشت کمانی مربوط دانست.

### نتیجه گیری

افولیت‌های نائین از جمله افولیت‌هایی است که به طور عمده از سنگ‌های توالی گوشته‌ای به‌ویژه پریدوتیت‌ها تشکیل شده است. پریدوتیت‌های افولیت نائین به طور عمده از هارزبورژیت‌های Cpx‌دار و لرزولیت‌ها با درجه ذوب بخشی حدود ۱۸٪ تشکیل یافته که بر اساس مطالعه حاضر می‌توان این پریدوتیت‌ها را مربوط با یک محیط SSZ دانست. تفاوت درجه ذوب بخشی این پریدوتیت‌ها، باعث ایجاد سنگ‌هایی با درجه غنی شدگی متفاوت در REE‌ها شده است. علاوه بر این تفاوت در غنی شدگی REE‌ها را می‌تواند ناشی از ذوب دو مرحله‌ای منشأ گوشته‌ای دانست.

آلودگی‌های گابروبی در ژرفاهای زیاد، در اثر درجه ذوب بخشی کم پریدوتیت‌های تهی شده ایجاد شده است. مذاب حاصل از این نرخ کم ذوب، تحت شرایط تغیر پلاستیکی نتوانسته راه خود را به صورت شکستگی‌های هیدرولیکی به بالا باز کنند و در پریدوتیت‌ها انتشار یافته و باعث آلوده کردن پریدوتیت‌های اطراف شده است. دایک‌های گابروبی با درجه تفریق بخشی بالاتری نسبت به گابردهای پگماتیتی و آلدگی‌های گابروبی به صورت دایک‌های تزریقی در هارزبورژیت‌های که در زیر منحنی سولیدوس قرار داشته‌اند، تزریق شده‌اند.

سنگ‌های مافیک این مجموعه افولیتی ویژگی‌های سری‌های تولیتی جزایر کمانی را نشان می‌دهند. همچنین این سنگ‌ها در نمودارهای زمین‌ساختی - ماقمایی و نمودارهای پراکنش عناصر فرعی ویژگی‌های بین مجھطه‌های پشت‌های میان اقیانوسی تهی شده و جزایر کمانی را نمایان

جدول ۱- نتایج تجزیه کل سنگ‌های مافیک و اولترامافیک افیولیت‌های نائین

Series Name	gabbro-dike	Gabbroic dike	diabasic dike	diabasic dike	diabasic dike	diabasic dike	impregnated peridotite	impregnated peridotite
sample_id	BS05-17	BSP-3	BAH-14	BS05-13	BS05-16	BKSh-7	BKB05-4	BS05-1
SiO <sub>2</sub>	54.3	30.8	53.4	41.9	51	55.1	41.5	45
TiO <sub>2</sub>	0.759	0.826	0.751	0.164	0.507	1.11	0.198	0.088
Al <sub>2</sub> O <sub>3</sub>	14.8	22	14.1	10.1	14.7	15.0	4.7	1.59
FeO	11.4	39.3	9.9	6.42	8.91	9.75	11	6.3
MnO	0.262	0.075	0.145	0.095	0.207	0.232	0.161	0.106
MgO	6.21	5.7	3.57	6.77	7.52	2.22	30	27.8
CaO	5.14	25.7	13.1	29	7.88	4.88	4.5	11.9
Na <sub>2</sub> O	3.77	0	0	0.25	4.51	6.08	0.31	0
K <sub>2</sub> O	0.84	0	0	0.01	0.522	0.143	0.1	0.06
P <sub>2</sub> O <sub>5</sub>	0.1	0.108	0.06	0.04	0.02	0.131	0.02	0.01
LOI	2.79	9.54	4.25	4.12	2.91	6.14	6.02	
Total	100.41	98.67	99.26	98.85	98.65	98.64	98.89	
Ba	59	2.44	5	20	23.3	47	14	9
Rb	7.51	0.397	0.271	0.262	2.68	1.47	0.696	0.045
Sr	137	247	86	52	83.2	560	46	15
Y	19.5	20.1	18.9	6.39	13	19	6.21	3.25
Zr	44	61.6	32.5	27.4	17.5	32	13.2	1.56
Nb	0.616	0.642	0.45	1.09	0.261	0.380	0.443	0.094
Th	0.464	0.337	0.213	0.238	0.09	0.096	0.083	0.005
Pb	1.84	0.988	5.47	1.97	6.87	2.81	2.63	0.261
Zn	98	36.2	73	33	120	84	79	28
Cu	80.2	5.49	61.1	33.2	83.2	10	17.8	10.5
Ni	23	65.7	29	54	56	9	988	504
V	303	142	411	196	264	265	109	111
Cr	30	66	6	231	177	12	2215	2390
Hf	1.3	1.97	1.12	0.731	0.64	1.01	0.351	0.049
Cs	0.412		0.019	0.037	0.032	0.044	0.087	0.003
Sc	41	13.4	34	34	41.6	40	19	43
Ta	0.047	0.404	0.031	0.077	0.03	0.038	0.015	
Co	35.6	17.6	29.4	29.7	31	15.2	113	74.4
U	0.153	0.148	0.141	0.208	0.062	0.234	0.033	0.048
W	2.32	2.65	0.753	1.14		0.360	0.296	0.254
La	2.21	2.73	1.56	1.24	0.852	1.71	0.493	
Ce	5.55	7.74	4.35	2.62	2.36	4.07	1.39	0.096
Pr	0.909	1.33	0.756	0.348	0.443	0.720	0.244	0.032
Nd	5.08	7.28	4.27	1.59	2.5	4.13	1.27	0.269
Sm	1.89	2.5	1.62	0.419	1.02	1.64	0.516	0.167
Eu	0.728	0.954	0.647	0.171	0.479	0.585	0.193	0.092
Gd	2.44	2.65	2.7	0.608	1.59	2.280	0.654	0.287
Tb	0.44	0.504	0.417	0.122	0.269	0.408	0.126	0.059
Dy	3.35	3.9	2.98	0.913	2.02	2.85	0.967	0.511
Ho	0.775	0.873	0.73	0.235	0.487	0.658	0.234	0.113
Er	2.08	2.41	1.97	0.669	1.23	1.87	0.572	0.277
Tm	0.341	0.388	0.338	0.121	0.204	0.331	0.088	0.044
Yb	2.1	2.28	2.07	0.849	1.36	1.90	0.633	0.267
Lu	0.355	0.335	0.332	0.143	0.218	0.292	0.1	0.047
Ti	4549.438	4951.036	4501.486	983.0144	3038.953		1186.81	527.4711

Series Name	impregnated peridotite	Micro gabbro	pegmatite gabbro	peridotite				
sample_id	BSP4	BAH-19	BAH-20	BS05-10	BS05-4A	BS05-4B	BKSH-6	BKB-1
SiO <sub>2</sub>	39.4	50.5	53.9	52.2	49.3	48.8	49.7	36.5
TiO <sub>2</sub>	0.272	0.512	1.05	0.897	0.806	0.847	0.119	0.011
Al <sub>2</sub> O <sub>3</sub>	4.27	15.1	14.4	15.4	15.3	15.4	16.7	1.14
FeOt	8.97	9.03	12.3	10.9	8.5	8.84	4.66	7.63
MnO	0.13	0.166	0.222	0.166	0.165	0.163	0.084	0.103
MgO	34.1	8.43	5.11	6.44	6.79	6.56	12.2	41.7
CaO	3.5	7.63	4.92	5.48	11.4	11	13.6	1.15
Na <sub>2</sub> O	0.365	3.82	4.74	2.68	3.27	3.63	0.73	0.03
K <sub>2</sub> O	0.088	1.04	0.43	3.02	0.85	0.79	0.08	0.13
P <sub>2</sub> O <sub>5</sub>	0.017	0.05	0.1	0.085	0.08	0.08	0.03	0.01
LOI	7.52	2.73	2.48	2.28	3.22	3.23	2.15	10.79
Total	98.69	99.06	99.67	99.59	99.66	99.41	100.05	99.21
Ba	3.37	79	23	177	110	102	37	4
Rb	0.856	8.42	2.64	15	13.8	13.2	1.01	0.216
Sr	8.35	132	130	252	216	232	201	17
Y	6.04	13.1	26	17.2	21.5	20.3	3.63	0.922
Zr	15.3	23.5	60.9	39.5	51.8	49.3	4.49	1.74
Nb	0.172	0.379	0.677	0.487	2.05	1.93	0.118	0.051
Th	0.081	0.295	0.578	0.332	0.282	0.158	0.085	0.05
Pb	3.04	2.26	2.39	2.73	2.01	0.704	0.782	1.52
Zn	86.8	64	116	71.6	90	76	33	57
Cu	46.9	42.2	37.3	1.27	30.6	24.3	26.4	3.76
Ni	1618	71	19	47.7	98	84	217	1851
V	74.7	256	379	299	249	241	124	41
Cr	2845	234	10	173	353	352	786	1732
Hf	0.516	0.792	1.97	1.21	1.46	1.37	0.165	0.028
Cs	0.197	0.395	0.042	0.129	0.586	0.52	0.103	0.01
Sc	12.9	39	41	35	40	37	31	9
Ta	0.023	0.038	0.059	0.036	0.141	0.155	0.005	0.013
Co	102	36.1	36.8	38.3	46.2	39.3	31.9	111
U	0.195	0.116	0.308	0.221	0.079	0.158	0.025	0.029
W	0.024	0.503	0.393		2.08	1.02	0.711	0.617
La	0.487	1.19	3.15	3.55	2.25	2.18	0.311	0.051
Ce	1.68	3.2	8.25	8.05	6.36	6.01	0.701	0.125
Pr	0.311	0.562	1.39	1.23	1.08	1.05	0.105	0.012
Nd	1.68	3.29	7.76	6.01	5.74	5.7	0.599	0.082
Sm	0.672	1.25	2.9	2.11	2.05	2.05	0.241	
Eu	0.253	0.505	1.04	0.663	0.831	0.827	0.119	0.008
Gd	0.761	1.75	3.45	2.5	2.76	2.55	0.321	0.032
Tb	0.146	0.315	0.661	0.426	0.52	0.49	0.068	0.007
Dy	1.05	2.36	4.72	3.05	3.55	3.34	0.526	0.08
Ho	0.246	0.584	1.09	0.694	0.829	0.798	0.118	0.021
Er	0.615	1.53	2.9	1.83	2.13	2.09	0.375	0.068
Tm	0.094	0.248	0.478	0.28	0.335	0.322	0.06	0.008
Yb	0.612	1.58	2.94	1.91	2.33	2.19	0.378	0.084
Lu	0.101	0.246	0.478	0.276	0.343	0.358	0.065	0.015
Ti	1630.365	3068.923	6293.69	5376.609	4831.156	5076.91	713.2848	65.93389

Series Name	pillow lava							
sample_id	BAH-35	BAH-36	BF-4	BF-2	BPV2	BS05-3		
SiO <sub>2</sub>	48.9	47.1	28.1	44.7	49.4	49.1		
TiO <sub>2</sub>	0.867	0.937	0.559	0.724	0.329	0.797		
Al <sub>2</sub> O <sub>3</sub>	15.6	15.8	19.4	16.7	16.5	15.3		
FeOt	8.78	8.72	8.16	8.93	10.2	7.69		
MnO	0.135	0.136	0.13	0.159	0.172	0.139		
MgO	7.26	7.52	4.73	5.44	5.4	7.54		
CaO	9.74	9.86	15	13.2	9.64	13.6		
Na <sub>2</sub> O	3.56	3.53	15.89	3.38	3.75	2.51		
K <sub>2</sub> O	0.79	1.34	2.2	0.49	0.84	0.25		
P <sub>2</sub> O <sub>5</sub>	0.12	0.12	0.41	0.09	0.05	0.08		
LOI	3.22	4.14	4.76	5.23	2.66	1.86		
Total	99.01	99.18	99.39	98.98	98.89	98.9		
Ba	54	102	16	17	145	25		
Rb	10.9	14.7	6.53	8.41	14.6	4.19		
Sr	170	198	184	199	302	112		
Y	19.9	21	19	19	28	21.1		
Zr	61.1	55	44	44	67	50.3		
Nb	2.63	2.39	1.26	1.13	1.07	1.93		
Th	0.302	0.263	0.165	0.11	0.09	0.186		
Pb	2.05	3.63	3.29	1.41	3.68	1.6		
Zn	78	61	91	109	68	75		
Cu	97.9	37	39	31.2	44.8	64.1		
Ni	79	91	123	126	61	119		
V	232	235	249	249	288	228		
Cr	236	257	566	572	194	331		
Hf	1.57	1.49	1.2	1.				

جدول ۲- نتایج تجزیه کانیابی ارتوپیروکسن‌ها در پریولویت‌های نائین

Name	BKB.13-2	BSU-14-1	BSU-14-2	BSU-14-3	BSU-14-4	BSU-14-5	BSU-14-7	BSU15-11	BSU-14-8	BSU15-12	BSU15-13	BSU15-14	BSU15-5
Rock-type	Peridotite												
SiO <sub>2</sub>	56.964	56.3675	56.1042	56.7063	56.8807	55.3065	56.5728	54.6544	57.929	54.8136	54.9866	53.7358	58.1141
TiO <sub>2</sub>	0.0002	0.0274	0.0002	0.0002	0.0442	0.0396	0.0319	0.0065	0.0403	0.0073	0.0652	0.0002	0.0002
Al <sub>2</sub> O <sub>3</sub>	3.4853	2.7552	2.866	2.5313	2.6911	2.8564	1.9246	3.9966	2.0731	3.9735	3.936	3.8118	1.2251
FeO	5.7013	5.6374	5.689	5.8191	5.8454	5.789	5.844	6.4457	6.0664	6.173	6.5979	6.3136	6.2611
Cr <sub>2</sub> O <sub>3</sub>	0.8973	0.5755	0.592	0.4007	0.3692	0.5256	0.2719	0.4779	0.2613	0.4834	0.5802	0.4932	0.0653
MnO	0.0909	0.1176	0.1144	0.2401	0.0925	0.011	0.0975	0.2726	0.0942	0.0094	0.0498	0.2175	0.2893
NiO	0.1983	0.0159	0.127	0.0954	0.1063	0.1334	0.0002	0.0002	0.0002	0.0002	0.0002	0.0002	0.0142
MgO	32.336	32.8467	34.0578	33.9105	33.8557	33.0228	34.2493	33.9592	34.6554	32.934	33.6436	32.9758	34.985
CaO	2.0619	0.5427	0.5653	0.551	0.6256	0.8133	0.4148	0.6147	0.5346	0.469	0.5743	0.5936	0.4338
Na <sub>2</sub> O	0.0094	0.0258	0.2603	0.0262	0.1015	0.0478	0.03	0.0397	0.0334	0.2104	0.0908	0.0402	0.0003
K <sub>2</sub> O	0.0388	0.0252	0.034	0.0248	0.0348	0.0001	0.0458	0.0001	0.0001	0.0001	0.0341	0.0137	
Total	101.78	98.94	100.41	100.31	100.65	98.55	99.48	100.47	101.69	99.07	100.52	98.22	101.4
TSi	1.943	1.968	1.921	1.949	1.948	1.936	1.956	1.873	1.963	1.906	1.886	1.886	1.974
TAI	0.057	0.032	0.079	0.051	0.052	0.064	0.044	0.127	0.037	0.094	0.114	0.114	0.026
TFe <sub>3</sub>	0	0	0	0	0	0	0	0	0	0	0	0	0
M1Al	0.083	0.082	0.036	0.052	0.056	0.054	0.035	0.034	0.045	0.068	0.045	0.043	0.023
M1Ti	0	0.001	0	0	0.001	0.001	0.001	0	0.001	0	0.002	0	0
M1Fe <sub>3</sub>	0	0	0.045	0	0	0	0.004	0.082	0	0.026	0.056	0.061	0.001
M1Fe <sub>2</sub>	0	0	0	0	0	0	0	0	0	0	0	0	0
M1Cr	0.024	0.016	0.016	0.011	0.01	0.015	0.007	0.013	0.007	0.013	0.016	0.014	0.002
M1Mg	0.887	0.901	0.899	0.935	0.93	0.927	0.953	0.871	0.947	0.892	0.882	0.882	0.973
M1Ni	0.005	0	0.003	0.003	0.003	0.004	0	0	0	0	0	0	0
M2Mg	0.757	0.809	0.839	0.803	0.799	0.796	0.812	0.864	0.804	0.815	0.838	0.843	0.798
M2Fe <sub>2</sub>	0.163	0.165	0.118	0.167	0.167	0.169	0.166	0.103	0.172	0.153	0.133	0.124	0.177
M2Mn	0.003	0.003	0.003	0.007	0.003	0	0.003	0.008	0.003	0	0.001	0.006	0.008
M2Ca	0.075	0.02	0.021	0.02	0.023	0.031	0.015	0.023	0.019	0.017	0.021	0.022	0.016
M2Na	0.001	0.002	0.017	0.002	0.007	0.003	0.002	0.003	0.002	0.014	0.006	0.003	0
M2K	0.002	0.001	0.001	0.001	0.002	0	0.002	0	0	0	0	0.002	0.001
Sum_cat	3.998	3.999	3.999	3.999	3.998	4	3.998	4	4	4	4	3.998	3.999
WO	3.998	1.07	1.077	1.05	1.195	1.586	0.787	1.157	0.998	0.917	1.092	1.151	0.8
EN	87.235	90.075	90.29	89.931	89.953	89.587	90.412	88.964	90.023	89.642	89.037	88.961	89.766
FS	8.768	8.856	8.633	9.019	8.852	8.827	8.801	9.879	8.979	9.44	9.87	9.888	9.434
Mineral	Opx												

جدول ۳- نتایج تجزیه کانیابی کلینوپیروکسن‌ها در سنگ‌های مختلف افیولیت‌های نائین

Name	BS05.16-1	BS05.16-10	BS05.16-11	BS05.16-12	BS05.16-13	BS05.16-14	BS05.16-15	BS05.16-16	BS05.16-17	BS05.16-2	BS05.16-3	BS05.16-4	BS05.16-5	BK05.4-20
Rock-type	diabasic dike	Gab.impreg												
SiO <sub>2</sub>	52.6795	50.678	50.946	52.645	51.78	50.701	50.6758	50.4064	51.7596	51.9661	51.8699	53.4202	52.696	52.8243
TiO <sub>2</sub>	0.2851	0.384	0.362	0.162	0.142	0.692	0.3448	0.4084	0.2568	0.3237	0.3694	0.1199	0.281	0.1652
Al <sub>2</sub> O <sub>3</sub>	2.9905	3.333	3.159	1.886	1.121	3.243	3.3858	3.6391	2.8552	3.7557	3.7889	2.1919	2.6	2.4721
FeO	6.1436	7.843	8.607	5.114	5.105	9.539	9.6797	7.9829	8.4853	5.8413	6.0834	4.9833	6.701	4.2986
Cr <sub>2</sub> O <sub>3</sub>	0.2214	0.077	0.043	0.739	0.481	0.015	0.0002	0.0462	0.0002	0.4798	0.5933	0.7929	0.331	0.8427
MnO	0.1961	0.184	0.226	0.167	0.177	0.029	0.28	0.3761	0.233	0.1776	0.1107	0.2134	0.132	0.1174
NiO	0.0002	0.119	0	0	0.138	0.133	0.0002	0.0002	0.0987	0.0188	0.0659	0.0031	0.134	0.0142
MgO	17.3726	16.711	15.624	17.294	19.987	14.242	15.9021	16.4265	17.2665	17.1928	16.9972	18.2687	16.897	17.2748
CaO	19.7622	19.508	19.206	19.737	20.454	19.439	18.6572	18.6273	18.1309	20.1424	19.6721	20.5749	20.27	21.4816
Na <sub>2</sub> O	0.1334	0.255	0.19	0.257	0.183	0.366	0.1779	0.1481	0.1516	0.1371	0.1087	0.1844	0.193	0.2366
K <sub>2</sub> O	0.0256	0.005	0.035	0.059	0	0.018	0.0001	0.0426	0.0404	0.0236	0.0001	0.0001	0.008	0.0444
Total	99.81	99.1	98.4	98.06	99.57	98.42	99.1	98.1	99.28	100.06	99.66	100.75	100.24	99.77
TSi	1.929	1.876	1.911	1.959	1.88	1.914	1.889	1.888	1.913	1.897	1.905	1.93	1.928	1.929
TAI	0.071	0.124	0.089	0.041	0.048	0.086	0.111	0.112	0.087	0.103	0.095	0.07	0.072	0.071
TFe <sub>3</sub>	0	0	0	0	0	0	0	0	0	0	0	0	0	0
M1Al	0.058	0.021	0.05	0.042	0	0.058	0.038	0.048	0.038	0.059	0.068	0.023	0.04	0.036
M1Ti	0.008	0.011	0.01	0.005	0.004	0.02	0.01	0.012	0.007	0.009	0.01	0.003	0.008	0.005
M1Fe <sub>3</sub>	0.002	0.098	0.032	0	0	0.015	0.066	0.052	0.047	0.023	0	0.03	0.021	0.02
M1Fe <sub>2</sub>	0	0	0.032	0	0	0.101	0.003	0	0	0	0	0	0	0
M1Cr	0.006	0.002	0.001	0.022	0.014	0	0	0.001	0	0.014	0.017	0.023	0.01	0.024
M1Mg	0.926	0.865	0.874	0.932	0.978	0.802	0.884	0.887	0.905	0.895	0.902	0.921	0.918	0.915
M1Ni	0	0.004	0	0	0.004	0.004	0	0	0.003	0.001	0.002	0	0.004	0
M2Mg	0.022	0.057	0	0.027	0.103	0	0	0.03	0.046	0.041	0.028	0.063	0.004	0.026
M2Fe <sub>2</sub>	0.186	0.145	0.206	0.159	0.155	0.185	0.233	0.198	0.215	0.155	0.187	0.121	0.184	0.111
M2Mn	0.006	0.006	0.007	0.005	0.005	0.001	0.009	0.012	0.007	0.005	0.003	0.007	0.004	0.004
M2Ca	0.775	0.774	0.772	0.787	0.796	0.786	0.745	0.747	0.718	0.788	0.774	0.797	0.794	0.841
M2Na	0.009	0.018	0.014	0.019	0.013	0.027	0.013	0.011	0.011	0.01	0.008	0.013	0.014	0.017
M2K	0.001	0	0.002	0.003	0	0.001	0	0.002	0.002	0.001	0	0	0	0.002
Sum_cat	3.998	4	3.998	3.997	4	3.999	4	3.998	3.998	3.999	4	4	4	3.998
WO	40.426	39.79	40.145	41.184	39.043	41.604	38.421	38.798	37.03	41.306	40.849	41.107	41.27	43.871
EN	49.447	47.426	45.439	50.211	53.084	42.411	45.564	47.605	49.067	49.056	49.109	50.785	47.868	49.087
FS	10.127	12.783	14.416	8.605	7.873	15.985	16.015	13.598	13.903	9.638	10.042	8.108	10.862	7.042
Mineral	Cpx	Cpx												

## ادامه جدول ۳

Name	BK05.4-21	BK05.4-31	BK05.4-32	BK05.4-33	BK05.4-34	BK05.4-35	BK05.4-36	BK05.4-37	BK05.4-38	BK05.4-39	BK05.4-40	BK05.4-41	BK05.4-42	BK05.4-43	BK05.4-44
Rock-type	Gab .impreg														
SiO <sub>2</sub>	52.7748	53.1489	53.5192	53.8	53.0642	52.1967	53.2941	52.7013	52.3322	53.743	53.3141	53.3263	53.4905	53.9083	53.9848
TiO <sub>2</sub>	0.185	0.1265	0.0969	0.1907	0.2465	0.2196	0.0752	0.1325	0.244	0.2322	0.271	0.1686	0.1885	0.1764	0.1556
Al <sub>2</sub> O <sub>3</sub>	2.2384	1.6705	1.8179	1.7649	1.9858	1.8205	1.5797	1.8844	2.2779	2.5475	2.5526	2.2887	2.3615	2.4179	2.3679
FeO	4.3533	4.3648	4.6757	4.7186	4.4678	4.5651	4.5134	4.4292	4.4962	5.0653	4.6726	4.7448	4.6909	4.409	4.0649
Cr <sub>2</sub> O <sub>3</sub>	0.8148	0.5579	0.7595	0.7752	0.7074	0.9099	0.6969	0.7276	1.0011	0.7942	0.7445	0.8265	0.9077	0.8977	0.9416
MnO	0.1019	0.0595	0.1097	0.1646	0.1474	0.1078	0.0469	0.0344	0.1787	0.1392	0.2032	0.155	0.0813	0.0595	0.1442
NiO	0.0002	0.0079	0.1355	0.0002	0.0236	0.1099	0.0393	0.1461	0.0002	0.0002	0.0002	0.0002	0.0236	0.0002	0.0236
MgO	17.8466	18.2057	18.3371	18.0079	17.7572	18.0048	17.9695	18.159	16.4982	17.5526	17.5991	17.9037	17.7146	17.2111	17.3938
CaO	21.0339	20.8684	21.1134	20.9009	20.8966	20.9972	20.8739	21.2237	22.1376	21.1093	20.8968	20.4445	21.6584	21.6975	20.9146
Na <sub>2</sub> O	0.2473	0.2049	0.2211	0.2373	0.2573	0.259	0.2039	0.222	0.4057	0.1464	0.2227	0.2927	0.2976	0.2962	0.2357
K <sub>2</sub> O	0.0001	0.0001	0.0001	0.0161	0.006	0.0224	0.0416	0.0001	0.0324	0.0001	0.0001	0.0574	0.0001	0.034	0.0397
Total	99.6	99.22	100.79	100.58	99.56	99.21	99.33	99.66	99.6	101.33	100.48	100.21	101.39	101.13	100.24
TSi	1.927	1.946	1.932	1.949	1.94	1.914	1.952	1.922	1.92	1.937	1.934	1.937	1.922	1.945	1.963
TAI	0.073	0.054	0.068	0.051	0.06	0.079	0.048	0.078	0.08	0.063	0.066	0.063	0.078	0.055	0.037
TFe <sub>3</sub>	0	0	0	0	0	0.008	0	0	0	0	0	0	0	0	0
M1Al	0.023	0.018	0.009	0.024	0.026	0	0.02	0.003	0.018	0.045	0.043	0.035	0.022	0.048	0.064
M1Ti	0.005	0.003	0.003	0.005	0.007	0.006	0.002	0.004	0.007	0.006	0.007	0.005	0.005	0.005	0.004
M1Fe <sub>3</sub>	0.033	0.027	0.048	0.012	0.018	0.067	0.02	0.062	0.05	0	0.001	0.019	0.04	0	0
M1Fe <sub>2</sub>	0	0	0	0	0	0	0	0	0	0	0	0	0	0	0
M1Cr	0.023	0.016	0.022	0.022	0.02	0.026	0.02	0.021	0.029	0.023	0.021	0.024	0.026	0.026	0.027
M1Mg	0.915	0.935	0.915	0.937	0.928	0.898	0.937	0.906	0.896	0.926	0.926	0.918	0.907	0.921	0.904
M1Ni	0	0	0.004	0	0.001	0.003	0.001	0.004	0	0	0	0	0.001	0	0
M2Mg	0.056	0.059	0.072	0.036	0.04	0.087	0.044	0.081	0.006	0.018	0.025	0.051	0.042	0.004	0.039
M2Fe <sub>2</sub>	0.1	0.106	0.093	0.131	0.118	0.066	0.119	0.073	0.088	0.153	0.14	0.125	0.101	0.133	0.124
M2Mn	0.003	0.002	0.003	0.005	0.005	0.003	0.001	0.001	0.006	0.004	0.006	0.005	0.002	0.002	0.004
M2Ca	0.823	0.819	0.816	0.811	0.819	0.825	0.819	0.829	0.87	0.815	0.812	0.796	0.834	0.839	0.815
M2Na	0.018	0.015	0.015	0.017	0.018	0.018	0.014	0.016	0.029	0.01	0.016	0.021	0.021	0.021	0.017
M2K	0	0	0	0.001	0	0.001	0.002	0	0.002	0	0	0.003	0	0.002	0.002
Sum_cat	4	4	4	3.999	4	3.999	3.998	4	3.998	4	4	3.997	4	3.998	3.998
WO	42.627	42.028	41.922	41.995	42.466	42.25	42.224	42.469	45.416	42.563	42.48	41.569	43.289	44.16	43.209
EN	50.323	51.016	50.66	50.343	50.21	50.408	50.575	50.558	47.094	49.243	49.779	50.651	49.264	48.74	50
FS	7.05	6.956	7.419	7.662	7.324	7.341	7.201	6.972	7.49	8.194	7.741	7.779	7.447	7.1	6.791
Mineral	Cpx														

Name	BS05.16-6	BS05.16-7	BS05.16-8	BS05.16-9	BSU-14-6	BSU15-1	BSU15-10	BSU15-4	BSU15-6	BSU15-9	BK05.4-16	BK05.4-17	BK05.4-18	BK05.4-19
Rock-type	diabasic dike	diabasic dike	diabasic dike	diabasic dike	Peridotite	Peridotite	Peridotite	Peridotite	Peridotite	Peridotite	Gab .impreg	Gab .impreg	Gab .impreg	Gab .impreg
SiO <sub>2</sub>	52.874	53.108	51.94	52.113	53.9047	52.0126	52.5532	52.7098	53.4935	53.0271	52.6254	52.3775	52.143	52.4691
TiO <sub>2</sub>	0.202	0.193	0.191	0.298	0.0538	0.2023	0.2274	0.2533	0.0948	0.1376	0.064	0.0002	0.1222	0.1446
Al <sub>2</sub> O <sub>3</sub>	2.028	1.738	2.568	2.046	2.5512	4.7582	4.4611	4.6739	4.4331	3.6134	1.9336	1.9416	1.9259	2.0548
FeO	6.69	6.382	6.305	8.245	1.8575	2.1057	2.2156	2.4319	2.5417	2.3462	4.4992	4.2918	4.3292	4.259
Cr <sub>2</sub> O <sub>3</sub>	0.335	0.232	0.335	0.001	0.6238	1.0062	0.8197	0.9062	0.8987	0.6637	0.7562	0.7884	0.67	0.8552
MnO	0.103	0.188	0.109	0.148	0.167	0.109	0.1642	0.2686	0.1143	0.0484	0.1954	0.0626	0.1268	0.1835
NiO	0.192	0	0.151	0	0.0002	0.0843	0.0298	0.0002	0.1069	0.0002	0.0346	0.098	0.0157	0.0002
MgO	16.889	17.097	16.214	15.888	17.2995	15.9886	16.3045	16.336	16.6993	16.8459	17.4615	17.7005	17.6354	17.7926
CaO	19.962	19.97	20.001	20.611	23.0728	23.8157	23.187	23.0633	22.0265	23.2268	20.8375	21.1698	21.0453	21.5081
Na <sub>2</sub> O	0.149	0.184	0.193	0.219	0.3159	0.3901	0.4162	0.4051	0.4895	0.3456	0.1998	0.2096	0.2094	0.264
K <sub>2</sub> O	0	0.004	0.038	0.031	0.0001	0.0793	0.0001	0.0295	0.0001	0.0001	0.0252	0.0292	0.0001	0.0136
Total	99.42	99.1	98.05	99.6	99.85	100.55	100.38	101.08	100.9	100.26	98.63	98.67	98.22	99.54
TSi	1.952	1.963	1.944	1.93	1.956	1.88	1.901	1.895	1.923	1.918	1.944	1.931	1.931	1.917
TAI	0.048	0.037	0.056	0.07	0.044	0.12	0.099	0.105	0.077	0.082	0.056	0.069	0.069	0.083
TFe <sub>3</sub>	0	0	0	0	0	0	0	0	0	0	0	0	0	0
M1Al	0.04	0.039	0.057	0.019	0.065	0.082	0.091	0.093	0.111	0.072	0.028	0.015	0.015	0.005
M1Ti	0.006	0.005	0.005	0.008	0.001	0.005	0.006	0.007	0.003	0.004	0.002	0	0.003	0.004
M1Fe <sub>3</sub>	0	0	0	0.051	0	0.029	0.001	0.002	0	0.007	0.017	0.048	0.043	0.064
M1Fe <sub>2</sub>	0.01	0.007	0.019	0.044	0	0	0	0	0	0	0	0	0	0
M1Cr	0.01	0.007	0.01	0	0.018	0.029	0.023	0.026	0.026	0.019	0.022	0.023	0.02	0.025
M1Mg	0.929	0.942	0.905	0.877	0.916	0.852	0.877	0.873	0.858	0.898	0.93	0.912	0.919	0.902
M1Ni	0.006	0	0.005	0	0	0.002	0.001	0	0.003	0	0.001	0.003	0	0
M2Mg	0	0	0	0	0.019	0.009	0.002	0.003	0.003	0.037	0.01	0.032	0.061	0.054
M2Fe <sub>2</sub>	0.197	0.19	0.179	0.16	0.056	0.035	0.066	0.071	0.076	0.064	0.122	0.085	0.092	0.066
M2Mn	0.003	0.006	0.003	0.005	0.005	0.003	0.005	0.008	0.003	0.001	0.006	0.002	0.004	0.006
M2Ca	0.789	0.791	0.802	0.818	0.897	0.922	0.899	0.888	0.849	0.9	0.825	0.836	0.835	0.842
M2Na	0.011	0.013	0.014	0.016	0.022	0.027	0.029	0.028	0.034	0.024	0.014	0.015	0.015	0.019
M2K	0	0	0.002	0.001	0	0.004	0	0.001	0	0	0.001	0.001	0	0.001
Sum_cat	4	4	3.998	3.999	4	3.996	4	3.999	4	4	3.999	3.999	4	3.999
WO	40.936	40.848	42.0											

## ۳ جدول ادامه

Name	BK05.4-45	BK05.4-46	BK05.4-47	BK05.4-48	BK05.4-49	BK05.4-50	BK05.4-51	BK05.4-52	BK05.4-53	BK05.4-54	BK05.4-55	BK05.4-56	BK05.4-57	BK05.4-62	BK05.4-63
Rock-type	Gab .impreg														
SiO <sub>2</sub>	53.1165	53.3151	53.1556	52.9043	51.1012	51.6028	53.5307	52.863	52.7987	52.9395	51.1483	53.5945	52.5181	53.1128	52.9079
TiO <sub>2</sub>	0.1476	0.1646	0.2442	0.1709	0.2973	0.4075	0.1714	0.1399	0.1915	0.1772	0.2732	0.1705	0.2608	0.1584	0.2607
Al <sub>2</sub> O <sub>3</sub>	2.3268	2.4379	2.3686	2.3229	2.9662	2.861	0.8315	1.869	2.3669	2.162	3.176	1.4109	2.4468	2.39	2.4194
FeO	4.5363	4.4197	4.5874	4.4781	4.6352	4.8887	3.3902	4.1001	4.4437	4.4827	4.5992	4.1865	4.7548	4.7154	4.7067
Cr <sub>2</sub> O <sub>3</sub>	0.9933	0.9465	0.866	0.9345	0.7851	0.929	0.4017	0.6288	0.8385	0.774	0.8279	0.5702	0.8443	0.9162	0.9994
MnO	0.0031	0.1499	0.0002	0.1172	0.1921	0.0499	0.1664	0.108	0.0892	0.0815	0.0031	0.2411	0.0859	0.0344	0.1281
NiO	0.0141	0.0002	0.0536	0.0002	0.0047	0.1883	0.0002	0.0267	0.1273	0.1197	0.0141	0.1069	0.0002	0.0267	0.022
MgO	17.8227	17.5378	17.5007	17.5029	16.8012	16.8357	17.1426	17.1142	17.2655	17.4562	17.4914	16.9788	17.8667	17.1944	17.6846
CaO	21.0739	21.375	21.1218	21.13	21.3398	21.5199	24.1306	21.9909	21.554	21.7449	19.9648	22.608	20.7742	21.241	21.286
Na <sub>2</sub> O	0.3028	0.2354	0.3474	0.251	0.4438	0.3963	0.1348	0.1254	0.2683	0.2043	0.8038	0.3447	0.1472	0.2085	0.2259
K <sub>2</sub> O	0.086	0.0603	0.053	0.0304	0.0359	0.0279	0.0001	0.0001	0.0296	0.0088	0.0817	0.0623	0.0001	0.0208	0.0268
Total	100.42	100.64	100.3	99.84	98.6	99.71	99.9	98.97	99.97	100.15	98.38	100.27	99.7	100.02	100.67
TSi	1.924	1.931	1.93	1.931	1.887	1.889	1.954	1.948	1.926	1.927	1.882	1.951	1.919	1.939	1.916
TAI	0.076	0.069	0.07	0.069	0.113	0.111	0.036	0.052	0.074	0.073	0.118	0.049	0.081	0.061	0.084
TFe <sub>3</sub>	0	0	0	0	0	0	0.011	0	0	0	0	0	0	0	0
M1Al	0.024	0.035	0.032	0.03	0.016	0.013	0	0.03	0.027	0.02	0.019	0.011	0.024	0.041	0.019
M1Ti	0.004	0.004	0.007	0.005	0.008	0.011	0.005	0.004	0.005	0.005	0.008	0.005	0.007	0.004	0.007
M1Fe <sub>3</sub>	0.04	0.018	0.027	0.021	0.09	0.078	0.035	0.005	0.032	0.035	0.121	0.04	0.029	0	0.038
M1Fe <sub>2</sub>	0	0	0	0	0	0	0.016	0.002	0	0	0	0.004	0	0	0
M1Cr	0.028	0.027	0.025	0.027	0.023	0.027	0.012	0.018	0.024	0.022	0.024	0.016	0.024	0.026	0.029
M1Mg	0.903	0.916	0.909	0.917	0.863	0.866	0.933	0.94	0.907	0.914	0.828	0.921	0.916	0.927	0.906
M1Ni	0	0	0.002	0	0	0.006	0	0.001	0.004	0.004	0	0.003	0	0.001	0.001
M2Mg	0.059	0.031	0.039	0.036	0.063	0.053	0	0	0.032	0.033	0.131	0	0.057	0.009	0.049
M2Fe <sub>2</sub>	0.097	0.116	0.113	0.115	0.053	0.072	0.042	0.119	0.103	0.101	0.021	0.084	0.116	0.144	0.104
M2Mn	0	0.005	0	0.004	0.006	0.002	0.005	0.003	0.003	0.003	0	0.007	0.003	0.001	0.004
M2Ca	0.818	0.829	0.822	0.826	0.844	0.844	0.944	0.868	0.842	0.848	0.787	0.882	0.813	0.831	0.826
M2Na	0.021	0.017	0.024	0.018	0.032	0.028	0.01	0.009	0.019	0.014	0.057	0.024	0.01	0.015	0.016
M2K	0.004	0.003	0.002	0.001	0.002	0.001	0	0	0.001	0	0.004	0.003	0	0.001	0.001
Sum_cat	3.996	3.997	3.998	3.999	3.998	3.999	4	4	4	4	3.996	3.997	4	3.999	3.999
WO	42.646	43.317	43.059	43.06	44.012	44.098	47.538	44.798	43.884	43.843	41.685	45.498	42.042	43.462	42.857
EN	50.183	49.451	49.641	49.628	48.213	48.002	46.989	48.509	48.911	48.972	50.815	47.543	50.31	48.952	49.542
FS	7.17	7.231	7.3	7.312	7.775	7.9	5.472	6.693	7.205	7.185	7.501	6.96	7.648	7.587	7.601
Mineral	Cpx														

Name	BK05.4-64	BK05.4-65	BK05.4-49	BK05.4-50	BK05.4-51	BK05.4-52	BK05.4-53	BK05.4-54	BK05.4-55	BK05.4-56	BK05.4-57	BK05.4-62	BK05.4-63	BK05.4-64	BK05.4-65	BK05.4-66
Rock-type	Gab .impreg															
SiO <sub>2</sub>	52.2283	52.6911	51.1012	51.6028	53.5307	52.863	52.7987	52.9395	51.1483	53.5945	52.5181	53.1128	52.9079	52.2283	52.6911	52.5846
TiO <sub>2</sub>	0.2022	0.2451	0.2973	0.4075	0.1714	0.1399	0.1915	0.1772	0.2732	0.1705	0.2608	0.1584	0.2607	0.2022	0.2451	0.1014
Al <sub>2</sub> O <sub>3</sub>	2.4701	2.3323	2.9662	2.861	0.8315	1.869	2.3669	2.162	3.176	1.4109	2.4468	2.39	2.4194	2.4701	2.3323	2.4412
FeO	4.8777	4.6644	4.6352	4.8887	3.3902	4.1001	4.4437	4.4827	4.5992	4.1865	4.7548	4.7154	4.7067	4.8777	4.6644	4.7186
Cr <sub>2</sub> O <sub>3</sub>	1.0061	0.9216	0.7851	0.929	0.4017	0.6288	0.8385	0.774	0.8279	0.5702	0.8443	0.9162	0.9994	1.0061	0.9216	1.019
MnO	0.0984	0.1891	0.1921	0.0499	0.1664	0.108	0.0892	0.0815	0.0031	0.2411	0.0859	0.0344	0.1281	0.0984	0.1891	0.1847
NiO	0.1161	0.0002	0.0047	0.1883	0.0002	0.0267	0.1273	0.1197	0.0141	0.1069	0.0002	0.0267	0.022	0.1161	0.0002	0.0205
MgO	16.8649	17.3504	16.8012	16.8357	17.1426	17.1142	17.2655	17.4562	17.4914	16.9788	17.8667	17.1944	17.6846	16.8649	17.3504	17.1771
CaO	21.483	21.4088	21.3398	21.5199	24.1306	21.9909	21.554	21.7449	19.9648	22.608	20.7742	21.241	21.286	21.483	21.4088	21.2698
Na <sub>2</sub> O	0.3318	0.253	0.4438	0.3963	0.1348	0.1254	0.2683	0.2043	0.8038	0.3447	0.1472	0.2085	0.2259	0.3318	0.253	0.2546
K <sub>2</sub> O	0.0643	0.0292	0.0359	0.0279	0.0001	0.0001	0.0296	0.0088	0.0817	0.0623	0.0001	0.0208	0.0268	0.0643	0.0292	0.0276
Total	99.74	100.09	98.6	99.71	99.9	98.97	99.97	100.15	98.38	100.27	99.7	100.02	100.67	99.74	100.09	99.8
TSi	1.913	1.921	1.887	1.889	1.954	1.948	1.926	1.927	1.882	1.951	1.919	1.939	1.916	1.913	1.921	1.923
TAI	0.087	0.079	0.113	0.111	0.036	0.052	0.074	0.073	0.118	0.049	0.081	0.061	0.084	0.087	0.079	0.077
TFe <sub>3</sub>	0	0	0	0	0.011	0	0	0	0	0	0	0	0	0	0	0
M1Al	0.019	0.021	0.016	0.013	0	0.03	0.027	0.02	0.019	0.011	0.024	0.041	0.019	0.019	0.021	0.028
M1Ti	0.006	0.007	0.008	0.011	0.005	0.004	0.005	0.005	0.008	0.005	0.007	0.004	0.007	0.006	0.007	0.003
M1Fe <sub>3</sub>	0.054	0.038	0.09	0.078	0.035	0.005	0.032	0.035	0.121	0.04	0.029	0	0.038	0.054	0.038	0.033
M1Fe <sub>2</sub>	0	0	0	0	0.016	0.002	0	0	0	0.004	0	0	0	0	0	0
M1Cr	0.029	0.027	0.023	0.027	0.012	0.018	0.024	0.022	0.024	0.016	0.024	0.026	0.029	0.029	0.027	0.029
M1Mg	0.889	0.908	0.863	0.866	0.933	0.94	0.907	0.914	0.828	0.921	0.916	0.927	0.906	0.889	0.908	0.906
M1Ni	0.003	0	0	0.006	0	0.001	0.004	0.004	0	0.003	0	0.001	0.001	0.003	0	0.001
M2Mg	0.032	0.034	0.063	0.053	0	0.003	0.032	0.033	0.131	0	0.057	0.009	0.049	0.032	0.034	0.03
M2Fe <sub>2</sub>	0.095	0.104	0.053	0.072	0.042	0.119	0.103	0.101	0.021	0.084	0.116	0.144	0.104	0.095	0.104	0.111

## ۳ جدول ادامه

Name	BK05.4-67	BK05.4-68	BK05.4-69	BK05.4-70	BK05.4-71	BK05.4-72	BK05.4-73	BK05.4-74	BK05.4-75	BK05.4-76	BK05.4-77	BK05.4-78	BK05.4-79	BK05.4-90	BK05.4-91
Rock-type	Gab .impreg														
SiO <sub>2</sub>	53.0478	52.977	52.6508	52.7612	51.8016	52.7201	52.5982	52.6507	51.8686	51.9965	52.4816	52.8093	52.8771	53.513	52.2092
TiO <sub>2</sub>	0.2002	0.2113	0.144	0.194	0.3009	0.3011	0.1862	0.1992	0.2199	0.1391	0.2316	0.1529	0.2634	0.222	0.2016
Al <sub>2</sub> O <sub>3</sub>	2.6908	2.6881	2.5488	2.1851	2.6326	2.615	2.5395	2.4073	2.5681	2.5316	2.587	2.683	2.1669	2.3306	
FeO	4.6462	4.7664	4.8832	4.7313	4.5882	4.7885	4.4871	4.6194	4.5521	4.7748	4.5813	4.8195	4.7408	4.7407	4.8516
Cr <sub>2</sub> O <sub>3</sub>	1.0309	0.9823	1.0069	0.7888	0.967	1.0228	1.0447	1.0668	0.9028	1.053	0.9037	0.9943	0.9644	0.9134	0.9458
MnO	0.0094	0.1939	0.281	0.2281	0.0844	0.1328	0.1672	0.1406	0.1392	0.1015	0.0922	0.0375	0.1108	0.1267	0.0689
NiO	0.0581	0.0754	0.1146	0.0002	0.11	0.0002	0.0002	0.0002	0.0002	0.0002	0.2232	0.121	0.0002	0.0126	0.0002
MgO	17.5059	17.4073	17.6469	17.6373	17.7423	16.9346	17.8066	17.5458	17.2362	17.2608	17.3324	17.2967	17.7782	17.7941	17.9515
CaO	21.4124	21.3845	20.8821	21.0571	21.5171	21.0666	21.0286	21.3496	21.4645	20.9639	21.2092	20.8634	21.0255	20.9177	20.8037
Na <sub>2</sub> O	0.3009	0.2797	0.2377	0.2285	0.2591	0.3147	0.3457	0.2276	0.1923	0.2486	0.3018	0.2466	0.2375	0.2983	0.1653
K <sub>2</sub> O	0.0001	0.0112	0.0224	0.0216	0.0001	0.0001	0.0001	0.0436	0.0084	0.0001	0.0792	0.0001	0.0296	0.0617	0.0265
Total	100.9	100.98	100.42	99.83	100	99.9	100.28	100.38	98.99	99.11	99.97	99.93	100.71	100.77	99.55
TSi	1.916	1.914	1.912	1.926	1.885	1.928	1.908	1.912	1.911	1.913	1.914	1.929	1.913	1.935	1.909
TAI	0.084	0.086	0.088	0.074	0.113	0.072	0.092	0.088	0.089	0.087	0.086	0.071	0.087	0.065	0.091
TFe3	0	0	0	0	0.002	0	0	0	0	0	0	0	0	0	0
M1Al	0.031	0.029	0.021	0.02	0	0.041	0.019	0.021	0.015	0.024	0.023	0.04	0.027	0.027	0.01
M1Ti	0.005	0.006	0.004	0.005	0.008	0.008	0.005	0.005	0.006	0.004	0.006	0.004	0.007	0.006	0.006
M1Fe3	0.034	0.038	0.047	0.038	0.088	0.007	0.057	0.043	0.049	0.041	0.049	0.012	0.036	0.023	0.055
M1Fe2	0	0	0	0	0	0	0	0	0	0	0	0	0	0	0
M1Cr	0.029	0.028	0.029	0.023	0.028	0.03	0.03	0.031	0.026	0.031	0.026	0.029	0.028	0.026	0.027
M1Mg	0.899	0.898	0.895	0.914	0.873	0.914	0.889	0.9	0.903	0.9	0.889	0.912	0.902	0.917	0.902
M1Ni	0.002	0.002	0.003	0	0.003	0	0	0	0	0	0.007	0.004	0	0	0
M2Mg	0.043	0.04	0.06	0.045	0.09	0.009	0.074	0.05	0.043	0.047	0.053	0.03	0.056	0.042	0.076
M2Fe2	0.107	0.106	0.101	0.107	0.05	0.139	0.079	0.097	0.091	0.106	0.09	0.136	0.107	0.12	0.093
M2Mn	0	0.006	0.009	0.007	0.003	0.004	0.005	0.004	0.004	0.003	0.003	0.001	0.003	0.004	0.002
M2Ca	0.829	0.828	0.813	0.824	0.839	0.825	0.817	0.831	0.847	0.826	0.829	0.816	0.815	0.81	0.815
M2Na	0.021	0.02	0.017	0.016	0.018	0.022	0.024	0.016	0.014	0.018	0.021	0.017	0.021	0.012	
M2K	0	0.001	0.001	0.001	0	0	0	0.002	0	0	0.004	0	0.001	0.003	0.001
Sum_cat	4	3.999	3.999	3.999	4	4	4	3.998	4	4	3.996	4	3.999	3.997	3.999
WO	43.341	43.22	42.212	42.565	43.162	43.461	42.534	43.148	43.707	42.97	43.307	42.822	42.433	42.278	41.924
EN	49.303	48.951	49.634	49.606	49.52	48.611	50.114	49.34	48.834	49.227	49.243	49.396	49.922	50.041	50.335
FS	7.356	7.829	8.154	7.83	7.318	7.928	7.352	7.512	7.459	7.804	7.45	7.782	7.645	7.681	7.741
Mineral	Cpx														

جدول ۴- نتایج تجزیه کانیایی اولوین‌های موجود در سنگ‌های مختلف افیولیت‌های نائین

Sample	BSU14-1	BSU14-10	BSU14-11	BSU14-12	BSU14-13	BSU14-14	BSU14-15	BSU14-16	BSU14-17	BSU14-18	BSU14-19	BSU14-20	BSU14-21	BSU14-22	BSU14-23
Rock type	Peridotite														
SiO <sub>2</sub>	40.0995	41.1416	40.5433	41.2313	41.1579	41.3414	41.1188	40.7693	40.6763	40.2745	40.7453	40.6362	40.924	40.9398	
TiO <sub>2</sub>	0.0002	0.0119	0.0002	0.0002	0.0002	0.1045	0.0002	0.0002	0.0002	0.0002	0.0002	0.0002	0.0002	0.0002	0.0002
Al <sub>2</sub> O <sub>3</sub>	0.0052	0.0228	0.0003	0.0243	0.0003	0.0237	0.0189	0.0003	0.0003	0.0003	0.0003	0.0003	0.0003	0.0003	0.0003
FeO	9.0068	8.8791	8.9105	9.2308	9.0926	8.7395	9.2136	8.9478	8.9092	9.163	9.3715	9.2312	8.0535	9.3151	
MnO	0.0094	0.0607	0.1789	0.2102	0.1043	0.1044	0.0002	0.2565	0.1338	0.1948	0.2132	0.1851	0.198	0.0358	
MgO	49.0475	49.0842	49.0037	49.0428	49.2468	49.037	49.6836	48.936	48.5359	48.4938	48.718	48.6894	49.7416	48.7585	
CaO	0.113	0.0041	0.0111	0.0292	0.0002	0.04	0.0002	0.0534	0.0424	0.0499	0.0193	0.0419	0.3903	0.0002	
Na <sub>2</sub> O	0.0565	0.0755	0.0506	0.0004	0.0429	0.0276	0.0927	0.0003	0.0496	0.1281	0.1506	0.04	0.4918	0.0616	
K <sub>2</sub> O	0.0325	0.0001	0.0001	0.0001	0.0471	0.0033	0.0133	0.0001	0.0001	0.0054	0.0001	0.0029	0.0983	0.0233	
NiO	0.3822	0.4369	0.0538	0.3659	0.3818	0.4421	0.5601	0.3525	0.3545	0.2457	0.361	0.337	0.5733	0.2848	
Cr <sub>2</sub> O <sub>3</sub>	0.0002	0.0002	0.0002	0.0002	0.0002	0.0002	0.0099	0.0002	0.0002	0.0002	0.0499	0.0002	0.0002	0.0541	
Total	98.753	99.7171	98.7527	100.1354	100.0743	99.8637	100.7115	99.3166	98.7025	98.5559	99.6294	99.1644	100.6347	99.4737	
Si	1	1	1	1	1	1	1	1	1	1	1	1	1	1	1
Al	0	0.001	0	0.001	0	0.001	0.001	0	0	0	0	0	0.005	0	
Ti	0	0	0	0	0	0.002	0	0	0	0	0	0	0	0	
Fe2	0.188	0.18	0.184	0.187	0.185	0.177	0.187	0.184	0.183	0.19	0.192	0.19	0.165	0.19	
Mn	0	0.001	0.004	0.004	0.002	0.002	0	0.005	0.003	0.004	0.004	0.004	0.004	0.001	
Mg	1.823	1.779	1.802	1.773	1.784	1.769	1.802	1.79	1.778	1.796	1.783	1.786	1.813	1.775	
Ca	0.003	0	0	0.001	0	0.001	0	0.001	0.001	0.001	0.001	0.001	0.01	0	
Na	0.003	0.004	0.002	0	0.002	0.001	0.004	0	0.002	0.006	0.007	0.002	0.023	0.003	
K	0.001	0	0	0	0.001	0	0	0	0	0	0	0	0.003	0.001	
Ni	0.008	0.009	0.001	0.007	0.007	0.009	0.011	0.007	0.007	0.005	0.007	0.007	0.011	0.006	
Cations	3.026	2.974	2.993	2.973	2.981	2.962	3.005	2.987	2.974	3.002	2.994	2.99	3.034	2.976	
Fa%	0.09	0.09	0.09	0.1	0.09	0.09	0.09	0.09	0.09	0.1	0.1	0.1	0.08	0.1	
Fo%	0.91	0.91	0.91	0.9	0.91	0.91	0.91	0.91	0.91	0.9	0.9	0.9	0.92	0.9	

ادامه جدول ۴

Sample	BSU14-8	BSU14-9	BSU15-1	BSU15-2	BK05.4-1	BK05.4-10	BK05.4-11	BK05.4-12	BK05.4-13	BK05.4-2	BK05.4-3	BK05.4-4	BK05.4-5
Rock type	Peridotite	Peridotite	Peridotite	Peridotite	gab. impreg								
SiO <sub>2</sub>	40.9665	41.1205	39.588	40.1902	39.1082	40.3049	39.461	40.2402	39.4734	39.6906	39.7719	39.775	39.086
TiO <sub>2</sub>	0.0002	0.0276	0.0495	0.0301	0.0011	0.0002	0.0002	0.0002	0.0002	0.0002	0.0002	0.0315	0.0911
Al <sub>2</sub> O <sub>3</sub>	0.0236	0.0008	0.0003	0.0003	0.0329	0.0397	0.0152	0.0003	0.0003	0.147	0.0003	0.0003	0.0149
FeO	8.9943	8.8622	9.6393	9.0259	15.5434	15.4693	15.1965	15.8369	15.4173	14.642	15.7679	15.1666	15.3894
MnO	0.1805	0.0466	0.1037	0.0588	0.2727	0.1839	0.3204	0.3369	0.2301	0.2915	0.2404	0.2944	0.2099
MgO	49.3178	48.9477	49.7553	49.6219	44.207	43.7956	44.6517	43.6934	44.9236	43.5191	44.6396	44.0616	44.2007
CaO	0.0029	0.0037	0.0393	0.0421	0.1808	0.1168	0.1266	0.109	0.1157	0.2257	0.2092	0.1692	0.0896
Na <sub>2</sub> O	0.0343	0.0191	0.0445	0.0257	0.0785	0.1033	0.0885	0.1512	0.0897	0.0489	0.071	0.0265	0.0003
K <sub>2</sub> O	0.0379	0.015	0.0021	0.0001	0.0001	0.0271	0.0205	0.0378	0.0111	0.0103	0.016	0.0448	0.0571
NiO	0.2754	0.4269	0.2615	0.4467	0.2444	0.2962	0.2242	0.2616	0.3639	0.2634	0.3932	0.163	0.3087
Cr <sub>2</sub> O <sub>3</sub>	0.0002	0.0495	0.0256	0.014	0.0002	0.0002	0.0178	0.0315	0.077	0.0002	0.0002	0.0353	0.0002
Total	99.8336	99.5196	99.5091	99.4558	99.6693	100.3372	100.1226	100.699	100.7023	98.8389	101.1099	99.7682	99.4479
Si	1	1	1	1	1	1	1	1	1	1	1	1	1
Al	0.001	0	0	0	0.001	0.001	0	0	0	0.004	0	0	0
Ti	0	0.001	0.001	0.001	0	0	0	0	0	0	0.001	0.001	0.002
Fe <sub>2</sub>	0.184	0.18	0.204	0.188	0.332	0.321	0.322	0.329	0.327	0.308	0.331	0.319	0.329
Mn	0.004	0.001	0.002	0.001	0.006	0.004	0.007	0.007	0.005	0.006	0.005	0.006	0.005
Mg	1.794	1.774	1.874	1.84	1.685	1.619	1.687	1.619	1.696	1.634	1.673	1.652	1.685
Ca	0	0	0.001	0.001	0.005	0.003	0.003	0.003	0.003	0.006	0.006	0.005	0.002
Na	0.002	0.001	0.002	0.001	0.004	0.005	0.004	0.007	0.004	0.002	0.003	0.001	0
K	0.001	0	0	0	0	0.001	0.001	0.001	0	0	0.001	0.001	0.002
Ni	0.005	0.008	0.005	0.009	0.005	0.006	0.005	0.005	0.007	0.005	0.008	0.003	0.006
Cations	2.991	2.965	3.089	3.041	3.038	2.96	3.029	2.971	3.042	2.965	3.027	2.988	3.031
Fa%	0.09	0.09	0.1	0.09	0.16	0.17	0.16	0.17	0.16	0.16	0.17	0.16	0.16
Fo%	0.91	0.91	0.9	0.91	0.84	0.83	0.84	0.83	0.84	0.84	0.83	0.84	0.84

Sample	BK05.4-58	BK05.4-59	BK05.4-6	BK05.4-60	BK05.4-61	BK05.4-7	BK05.4-8	BK05.4-83	BK05.4-84	BK05.4-85	BK05.4-86	BK05.4-87
Rock type	gab.impreg											
SiO <sub>2</sub>	39.0867	38.2835	40.0503	39.5794	38.8409	39.1004	39.6793	39.9092	40.435	39.9033	40.0715	39.4779
TiO <sub>2</sub>	0.018	0.0002	0.0002	0.0002	0.0002	0.0002	0.0114	0.0071	0.041	0.0102	0.013	0.0038
Al <sub>2</sub> O <sub>3</sub>	0.0178	0.0042	0.0157	0.0112	0.0017	0.0003	0.0003	0.0258	0.0226	0.0137	0.0468	0.0414
FeO	16.0545	15.8009	14.7663	16.3653	17.0178	15.8913	15.2943	15.1041	14.4801	15.3023	14.872	15.468
MnO	0.2221	0.2408	0.2593	0.2628	0.1849	0.2501	0.3451	0.2426	0.3174	0.3694	0.2212	0.3019
MgO	43.5928	43.6845	44.2528	44.2033	43.7567	44.5129	44.2219	45.2768	44.8549	44.4477	44.2312	45.3301
CaO	0.1184	0.1015	0.106	0.1246	0.0975	0.2022	0.0711	0.0796	0.1785	0.1395	0.163	0.1809
Na <sub>2</sub> O	0.0849	0.0685	0.0099	0.0726	0.0694	0.0865	0.0424	0.1719	0.0997	0.1229	0.1214	0.1261
K <sub>2</sub> O	0.0501	0.0206	0.0588	0.0001	0.0397	0.0001	0.104	0.0617	0.0615	0.0386	0.0856	0.0567
NiO	0.2398	0.2621	0.2713	0.3316	0.205	0.2417	0.2902	0.2731	0.0582	0.2711	0.0989	0.3197
Cr <sub>2</sub> O <sub>3</sub>	0.0104	0.0002	0.0157	0.0146	0.0002	0.0002	0.0466	0.0249	0.0002	0.0012	0.0249	0.0568
Total	99.4955	98.467	99.8063	100.9657	100.214	100.2859	100.1066	101.1768	100.5491	100.6199	99.9495	101.3633
Si	1	1	1	1	1	1	1	1	1	1	1	1
Al	0.001	0	0	0	0	0	0	0.001	0.001	0	0.001	0.001
Ti	0	0	0	0	0	0	0	0	0.001	0	0	0
Fe <sub>2</sub>	0.344	0.345	0.308	0.346	0.367	0.34	0.323	0.317	0.3	0.321	0.31	0.328
Mn	0.005	0.005	0.005	0.006	0.004	0.005	0.007	0.005	0.007	0.008	0.005	0.006
Mg	1.663	1.701	1.648	1.665	1.68	1.698	1.662	1.692	1.654	1.661	1.645	1.712
Ca	0.003	0.003	0.003	0.003	0.003	0.006	0.002	0.002	0.005	0.004	0.004	0.005
Na	0.004	0.003	0	0.004	0.003	0.004	0.002	0.008	0.005	0.006	0.006	0.006
K	0.002	0.001	0.002	0	0.001	0	0.003	0.002	0.002	0.001	0.003	0.002
Ni	0.005	0.006	0.005	0.007	0.004	0.005	0.006	0.006	0.001	0.005	0.002	0.007
Cations	3.027	3.064	2.971	3.031	3.062	3.058	3.005	3.033	2.976	3.006	2.976	3.067
Fa%	0.17	0.17	0.16	0.17	0.18	0.17	0.16	0.16	0.15	0.16	0.16	0.16
Fo%	0.83	0.83	0.84	0.83	0.82	0.83	0.84	0.84	0.85	0.84	0.84	0.84

Sample	BKSH-4-9	BKSH-11-1	BKSH-11-10	BKSH-11-11	BKSH-11-12	BKSH-11-13	BKSH-11-14	BKSH-11-15	BKSH-11-16	BKSH-11-17	BKSH-11-18	BKSH-11-19	BKSH-11-2	
Rock type	gab.impreg	websterite												
SiO <sub>2</sub>	39.4333	40.2327	40.2753	40.4535	40.2258	40.4899	40.5332	40.2315	40.1959	39.194	39.7515	40.1116	40.0763	
TiO <sub>2</sub>	0.0141	0.0174	0.0002	0.0002	0.0002	0.0002	0.0002	0.0002	0.0002	0.0002	0.0002	0.0284	0.0002	
Al <sub>2</sub> O <sub>3</sub>	0.0147	0.0703	0.0003	0.0656	0.0003	0.0071	0.0003	0.0057	0.0454	0.0003	0.0053	0.0003	0.0036	
FeO	15.1449	13.1417	13.283	12.8326	13.5233	13.903	13.1458	13.866	13.4282	13.5275	13.4701	13.219	13.9027	
MnO	0.2303	0.099	0.2596	0.2104	0.2334	0.1543	0.1979	0.0726	0.176	0.3287	0.4257	0.0587	0.182	
MgO	45.1575	45.5472	45.9505	45.232	46.0972	45.6945	45.4268	45.0484	45.5355	45.3436	45.2266	45.6339	45.2078	
CaO	0.1142	0.122	0.0572	0.1068	0.1039	0.0968	0.1194	0.1095	0.067	0.1306	0.0282	0.0254	0.0775	
Na <sub>2</sub> O	0.0709	0.0003	0.0916	0.0891	0.0107	0.0303	0.0394	0.0334	0.0003	0.0465	0.1266	0.0756	0.0003	
K <sub>2</sub> O	0.0045	0.012	0.0037	0.0108	0.0592	0.0001	0.0431	0.0001	0.031	0.0227	0.0001	0.0368	0.0001	
NiO	0.1821	0.2842	0.2161	0.1262	0.3456	0.3688	0.1893	0.164	0.4714	0.0002	0.2063	0.1404	0.1071	
Cr <sub>2</sub> O <sub>3</sub>	0.0029	0.0002	0.0002	0.0399	0.0002	0.0708	0.0002	0.0004	0.0338	0.0004	0.0002	0.0002	0.0312	
Total	100.3694	99.527	100.1377	99.1671	100.5998	100.8158	99.6956	99.5318	99.9847	98.5947	99.2408	99.3303	99.5888	
Si	1	1	1	1	1	1	1	1	1	1	1	1	1	
Al	0	0.002	0	0.002	0	0	0	0	0.001	0	0	0	0	
Ti	0	0	0	0	0	0	0	0	0	0	0	0.001	0	
Fe <sub>2</sub>	0.321	0.273	0.276	0.265	0.281	0.287	0.271	0.288	0.279	0.289	0.283	0.276	0.29	
Mn	0.005	0.002	0.005	0.004	0.005	0.003	0.004	0.002	0.004	0.007	0.009	0.001	0.004	
Mg	1.708	1.688	1.702	1.668	1.708	1.683	1.672	1.668	1.688	1.724	1.696	1.696	1.682	
Ca	0.003	0.003	0.002	0.003	0.003	0.003	0.003	0.003	0.002	0.004	0.001	0.001	0.002	
Na	0.003	0	0.004	0.004	0.001	0.001	0.002	0.002	0	0.002	0.006	0.004	0	
K	0	0	0	0	0.002	0	0.001	0	0.001	0.001	0	0.001	0	
Ni	0.004	0.006	0.004	0.003	0.007	0.007	0.004	0.003	0.009	0	0.004	0.003	0.002	
Cations	3.044	2.974	2.993	2.949	3.007	2.984	2.957	2.966	2.984	3.027	2.999	2.983	2.98	
Fa%	0.16	0.14	0.14	0.14	0.14	0.15	0.14	0.15	0.14	0.14	0.14	0.14	0.14	0.15
Fo%	0.84	0.86	0.86	0.86	0.86	0.85	0.86	0.85	0.86	0.86	0.86	0.86	0.86	0.85

## ۴ جدول ادامه

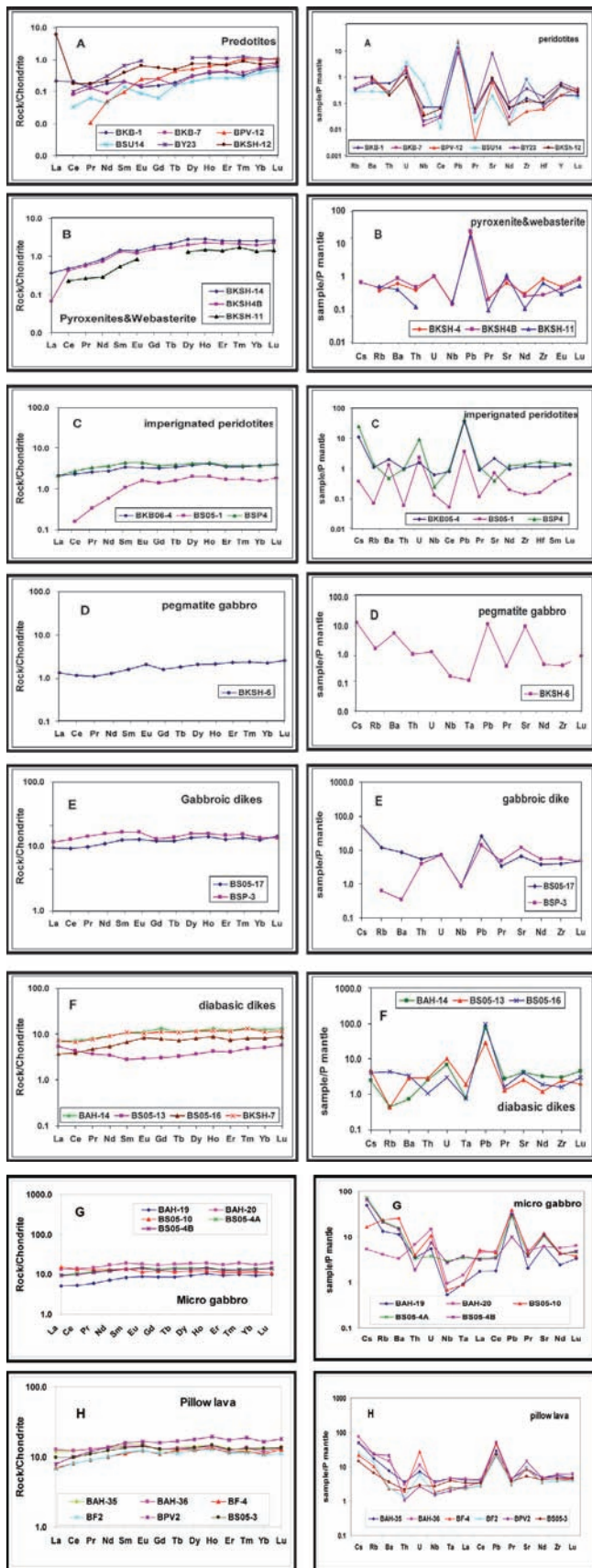
Sample	BKSH-11-20	BKSH-11-21	BKSH-11-22	BKSH-11-23	BKSH-11-24	BKSH-11-26	BKSH-11-4	BKSH-11-5	BKSH-11-6	BKSH-11-7	BKSH-11-20	BKSH-11-21	BKSH-11-8
Rock type	websterite												
SiO <sub>2</sub>	39.7448	40.1569	40.7384	40.4596	39.679	39.9573	40.4393	40.0862	39.8546	40.6633	39.7448	40.1569	40.7414
TiO <sub>2</sub>	0.0118	0.0002	0.0048	0.0026	0.0002	0.0002	0.0002	0.0002	0.0002	0.0241	0.0118	0.0002	0.0002
Al <sub>2</sub> O <sub>3</sub>	0.0212	0.0003	0.0003	0.0242	0.0724	0.0749	0.0473	0.0273	0.0296	0.0003	0.0212	0.0003	0.0003
FeO	13.1004	13.2804	13.7125	13.3798	13.2248	14.1999	13.1707	13.7271	13.9593	13.5549	13.1004	13.2804	13.3577
MnO	0.2671	0.1129	0.148	0.1004	0.2655	0.2237	0.0942	0.4248	0.1376	0.0634	0.2671	0.1129	0.2259
MgO	44.9904	45.1922	45.713	45.3889	45.4663	45.4734	45.7804	45.4672	45.2865	45.6575	44.9904	45.1922	45.563
CaO	0.0421	0.0785	0.0241	0.1071	0.0002	0.0841	0.1712	0.0772	0.0495	0.13	0.0421	0.0785	0.1031
Na <sub>2</sub> O	0.0433	0.0747	0.0721	0.0332	0.1159	0.0473	0.057	0.0152	0.0627	0.0182	0.0433	0.0747	0.0812
K <sub>2</sub> O	0.0001	0.0001	0.05	0.0017	0.0318	0.0001	0.0001	0.0273	0.0001	0.0001	0.0001	0.0001	0.0001
NiO	0.1213	0.0002	0.4787	0.2066	0.2206	0.1576	0.2191	0.3029	0.0002	0.1104	0.1213	0.0002	0.1989
Cr <sub>2</sub> O <sub>3</sub>	0.0224	0.0002	0.0002	0.0151	0.0002	0.0002	0.0002	0.0002	0.0002	0.0224	0.0002	0.0002	0.0002
Total	98.3649	98.8966	100.9421	99.7192	99.0769	100.2187	99.9797	100.1284	99.4077	100.2224	98.3649	98.8966	100.272
Si	1	1	1	1	1	1	1	1	1	1	1	1	1
Al	0.001	0	0	0.001	0.002	0.002	0.001	0.001	0.001	0	0.001	0	0
Ti	0	0	0	0	0	0	0	0	0	0	0	0	0
Fe <sub>2</sub>	0.276	0.277	0.281	0.277	0.279	0.297	0.272	0.286	0.293	0.279	0.276	0.277	0.274
Mn	0.006	0.002	0.003	0.002	0.006	0.005	0.002	0.009	0.003	0.001	0.006	0.002	0.005
Mg	1.688	1.678	1.672	1.673	1.708	1.696	1.688	1.691	1.695	1.674	1.688	1.678	1.668
Ca	0.001	0.002	0.001	0.003	0	0.002	0.005	0.002	0.001	0.003	0.001	0.002	0.003
Na	0.002	0.004	0.003	0.002	0.006	0.002	0.003	0.001	0.003	0.001	0.002	0.004	0.004
K	0	0	0.002	0	0.001	0	0	0	0.001	0	0	0	0
Ni	0.002	0	0.009	0.004	0.004	0.003	0.004	0.006	0	0.002	0.002	0	0.004
Cations	2.976	2.963	2.971	2.962	3.006	3.007	2.975	2.996	2.997	2.96	2.976	2.963	2.958
Fa%	0.14	0.14	0.14	0.14	0.14	0.15	0.14	0.14	0.15	0.14	0.14	0.14	0.14
Fo%	0.86	0.86	0.86	0.86	0.86	0.85	0.86	0.86	0.85	0.86	0.86	0.86	0.86

جدول ۵- نتایج تجزیه کانیابی اسپینل های موجود در پریدوتیت های افیولیت های نائین

sample	BSU15-1	BSU15-2	BSU15-3	BSU15-4	BKB13-1	BKB13-2	BKB13-3	BKB13-4	BKB13-5	BKB13-6	BKB13-7	BKB13-8	BSU14-1	BSU14-2	BSU14-3
SiO <sub>2</sub>	0.0339	0.044	0.0811	0.0234	0.0546	0.03	0.0295	0.0003	0.0003	0.0273	0.0003	0.0003	0.0003	0.0228	0.0003
TiO <sub>2</sub>	0.0002	0.0343	0.0447	0.064	0.0375	0.0431	0.0888	0.1212	0.0063	0.0208	0.0023	0.0643	0.0002	0.0323	0.0631
Al <sub>2</sub> O <sub>3</sub>	51.4387	52.1019	51.1186	51.5558	32.0021	32.7201	33.0094	34.1709	33.2788	32.7625	32.5396	32.3056	38.4157	38.6104	38.1451
FeO(T)	13.8234	13.3556	13.9027	13.3064	18.9251	17.1677	17.8007	16.8052	17.1945	15.9986	16.1955	16.667	14.938	14.6309	14.6365
MnO	0.0002	0.0627	0.0002	0.1765	0.2302	0.2521	0.1754	0.2498	0.2346	0.2603	0.0176	0.2695	0.1974	0.174	0.2194
MgO	18.4829	18.6553	17.9898	18.122	13.7273	13.8746	13.8297	14.6344	14.2351	15.2391	15.0867	15.0301	15.5357	15.1824	15.8927
CaO	0.0002	0.0269	0.0023	0.0168	0.0001	0.0001	0.0001	0.0249	0.0184	0.0001	0.0001	0.0001	0.0001	0.0293	0.0034
Na <sub>2</sub> O	0.024	0.0854	0.0585	0.1056	0.0481	0.0055	0.0003	0.041	0.0003	0.1045	0.0264	0.0264	0.054	0.0816	0.0256
K <sub>2</sub> O	0.0001	0.0233	0.0004	0.0107	0.0195	0.0001	0.0001	0.0307	0.0001	0.0023	0.0092	0.0001	0.0001	0.0001	0.029
Cr <sub>2</sub> O <sub>3</sub>	16.0495	14.9279	16.3772	15.8517	33.9122	34.0473	33.061	33.4524	33.1325	33.7045	34.367	33.8747	30.2496	30.2634	30.2474
NiO	0.2947	0.4237	0.2534	0.2512	0.1582	0.1371	0.1799	0.1826	0.2441	0.1828	0.3238	0.2421	0.2004	0.0243	0.0956
Sum:	100.1478	99.741	99.8289	99.4841	99.1149	98.2777	98.1749	99.7134	98.345	98.3028	98.5685	98.4802	99.5915	99.0515	99.3581
Fe <sub>2</sub> O <sub>3</sub>	2.1	2.1	1.4	1.3	3.6	2.1	2.6	2.3	2.7	3.2	2.9	3.6	1.1	0.2	1.4
FeO	11.9	11.5	12.6	12.1	15.7	15.3	15.5	14.8	14.7	13.1	13.6	13.4	14	14.4	13.4
Si	0.0009	0.0012	0.0022	0.0006	0.0016	0.0009	0.0009	0.0000	0.0000	0.0008	0.0000	0.0000	0.0000	0.0007	0.0000
Ti	0.0000	0.0007	0.0009	0.0013	0.0008	0.0010	0.0020	0.0027	0.0001	0.0005	0.0001	0.0014	0.0000	0.0007	0.0014
Al	1.6144	1.6350	1.6144	1.6288	1.1177	1.1467	1.1567	1.1721	1.1605	1.1378	1.1302	1.1238	1.2915	1.3051	1.2829
Fe+3	0.0424	0.0412	0.0290	0.0272	0.0801	0.0474	0.0582	0.0498	0.0612	0.0708	0.0645	0.0796	0.0233	0.0045	0.0303
Fe+2	0.2654	0.2563	0.2826	0.2711	0.3889	0.3796	0.3844	0.3593	0.3643	0.3235	0.3346	0.3318	0.3331	0.3464	0.3190
Mn	0.0000	0.0014	0.0000	0.0040	0.0058	0.0063	0.0044	0.0062	0.0059	0.0065	0.0004	0.0067	0.0048	0.0042	0.0053
Mg	0.7337	0.7405	0.7187	0.7242	0.6064	0.6151	0.6130	0.6350	0.6279	0.6694	0.6628	0.6613	0.6606	0.6491	0.6761
Ca	0.0000	0.0008	0.0001	0.0005	0.0000	0.0000	0.0000	0.0008	0.0006	0.0000	0.0000	0.0000	0.0000	0.0009	0.0001
Na	0.0012	0.0044	0.0030	0.0055	0.0028	0.0003	0.0000	0.0023	0.0000	0.0060	0.0015	0.0015	0.0030	0.0045	0.0014
K	0.0000	0.0008	0.0000	0.0004	0.0007	0.0000	0.0000	0.0011	0.0000	0.0001	0.0003	0.0000	0.0000	0.0011	
Cr	0.3379	0.3143	0.3470	0.3360	0.7945	0.8005	0.7772	0.7698	0.7751	0.7852	0.8008	0.7905	0.6822	0.6862	0.6824
Ni	0.0063	0.0091	0.0055	0.0054	0.0038	0.0033	0.0043	0.0043	0.0058	0.0043	0.0077	0.0057	0.0046	0.0006	0.0022
mineral	spi	spi	spi	spi	spi	spi	spi	spi	spi	spi	spi	spi	spi	spi	spi

## ادامه جدول ۵

sample	BSU14-4	BSU14-5	BSU14-6	BSU14-7	BSU14-8	BSU14-9	BSU14-10	BSU14-11
SiO <sub>2</sub>	0.0003	0.0003	0.0501	0.0341	0.0003	0.0003	0.0084	0.0094
TiO <sub>2</sub>	0.0002	0.0918	0.0288	0.0916	0.0002	0.0748	0.0258	0.0167
Al <sub>2</sub> O <sub>3</sub>	38.6898	38.8191	37.6921	38.0081	38.5604	38.5175	38.5876	38.7095
FeO(T)	14.3697	14.1398	14.0279	14.0891	14.1107	14.2317	14.949	14.9372
MnO	0.2595	0.0783	0.0708	0.3083	0.2289	0.167	0.3114	0.0767
MgO	15.445	15.3474	15.5075	15.3134	15.3579	15.565	15.2613	15.461
CaO	0.0088	0.0118	0.0381	0.0289	0.0042	0.0481	0.0485	0.0195
Na <sub>2</sub> O	0.082	0.1009	0.033	0.0234	0.0003	0.0003	0.0721	0.0147
K <sub>2</sub> O	0.0488	0.0001	0.0001	0.012	0.0175	0.0206	0.0001	0.0372
Cr <sub>2</sub> O <sub>3</sub>	30.796	30.0991	31.2483	30.4717	30.4213	30.2041	29.0497	28.7433
NiO	0.0334	0.102	0.2568	0.1186	0.2237	0.0001	0.178	0.0001
Sum:	99.7335	98.7906	98.9535	98.4992	98.9254	98.8295	98.4919	98.0253
Fe <sub>2</sub> O <sub>3</sub>	0.3	0	0.2	0.2	0.1	0.5	1.1	1.2
FeO	14.1	14.1398	13.8	13.9	14	13.8	13.9	13.8
Si	0.0000	0.0000	0.0014	0.0010	0.0000	0.0000	0.0002	0.0003
Ti	0.0000	0.0020	0.0006	0.0020	0.0000	0.0016	0.0006	0.0004
Al	1.2988	1.3130	1.2774	1.2923	1.3042	1.3015	1.3093	1.3157
Fe+3	0.0056	0.0000	0.0047	0.0049	0.0028	0.0105	0.0248	0.0271
Fe+2	0.3367	0.3418	0.3327	0.3350	0.3359	0.3308	0.3352	0.3332
Mn	0.0063	0.0019	0.0017	0.0075	0.0056	0.0041	0.0076	0.0019
Mg	0.6558	0.6566	0.6648	0.6586	0.6570	0.6652	0.6550	0.6647
Ca	0.0003	0.0004	0.0012	0.0009	0.0001	0.0015	0.0015	0.0006
Na	0.0045	0.0056	0.0018	0.0013	0.0000	0.0000	0.0040	0.0008
K	0.0018	0.0000	0.0000	0.0004	0.0006	0.0008	0.0000	0.0014
Cr	0.6935	0.6829	0.7104	0.6950	0.6902	0.6846	0.6612	0.6554
Ni	0.0008	0.0024	0.0059	0.0028	0.0052	0.0000	0.0041	0.0000
mineral	spi	spi						



شکل ۳- نمودارهای REE (بهنجار به کندریت) ستون سمت چپ و نمودار چند عنصری (بهنجار به گوشه اولیه) ستون سمت راست، برای سنگ‌های اولترامافیک و مافیک افیولیت‌های نائین



(A) ارتوپیروکسن با حاشیه باستیتی شده در هازبوزریت‌ها

(B) برونراش‌های کلینوپیروکسن در ارتوپیروکسن به همراه بلورهای

کلینوپیروکسن و اولیوین‌های سرپاتنی شده در اسپینل لرزولیت،

(C) کلینوپیروکسن در پیوستگاه‌های سه گانه ارتوپیروکسن‌ها در پیروکسنیت‌های

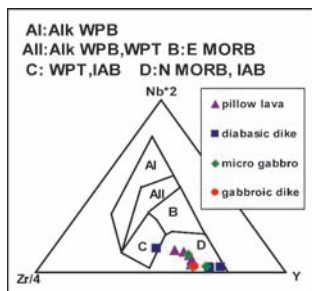
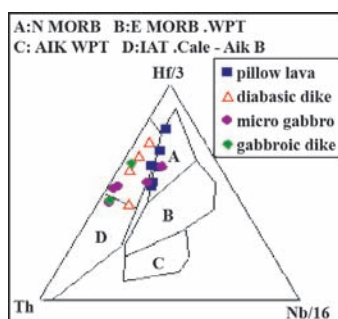
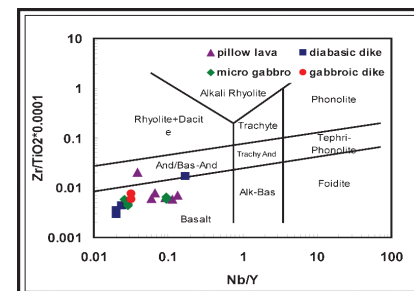
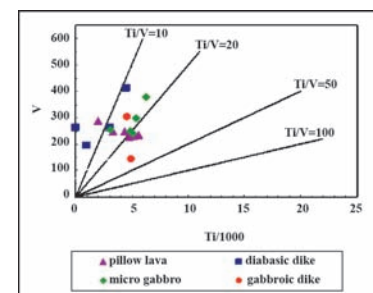
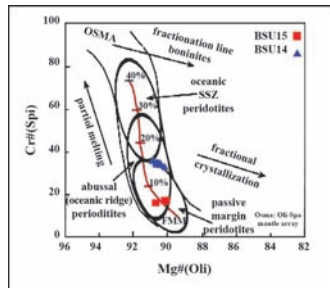
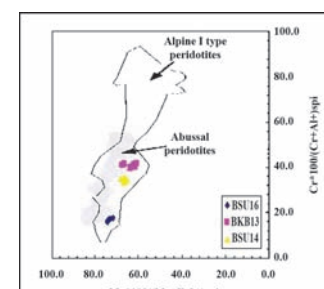
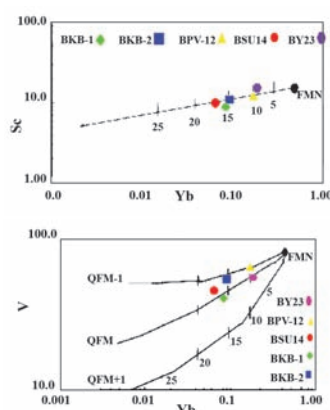
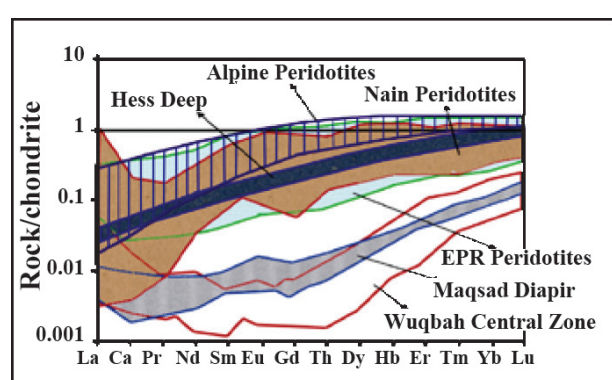
با بافت انباشتی، (D) اولیوین به طور شناور در کلینوپیروکسن‌های دارای شکستگی

حاصل از تراوش ماسگما در آلدگی‌های گابرویی، (E) نمونه دستی از پریدوتیت‌های

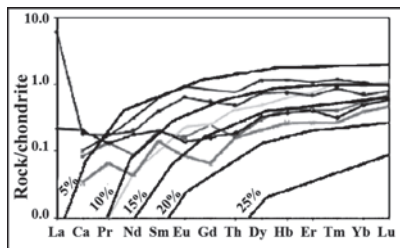
آلود شده به ماسگما، با نوارهای سفید پلازبیو کلائزی مشخص، (F) پلازبیو کلائز

دگرسان شده به همراه کلینوپیروکسن‌های حاصل از تراوش مذاب در آلدگی‌های

گابرویی (مقطع میکروسکوپی نمونه E). مقیاس مقاطع نازک مانند شکل (A)

شکل ۵- نمودار سه گانه  $Y, Zr/4, Nb^*2$  برای سنگ‌های مافیک افولیت‌های نائینشکل ۶- نمودار سه گانه  $Th, Hf, Nb$  برای تشخیص جایگاه تشکیل سنگ‌های مافیک منطقه نائینشکل ۷- نمودار لگاریتمی  $Zr/TiO_2 \cdot 0.0001$  در برابر  $Nb/Y$  برای تشخیص انواع سنگ‌هاشکل ۸- نمودار  $Ti/V$  در برابر  $Ti/1000$  برای تشخیص جایگاه تشکیل سنگ‌های مافیک منطقه نائینشکل ۹- نمودار  $Cr\#(Spi)$  در برابر  $Mg\#(Oli)$  برای تشخیص جایگاه تشکیل پریدوتیت‌هاشکل ۱۰- مقایسه  $Cr\#*100/Mg\#*100$  در برابر  $Cr\#/(Cr+Al+Fe)*spi$  نشان دهنده قرارگیری نمونه‌های نائین در منطقه تیپ I پریدوتیت‌های آلبیشکل ۱۱- نمودارهای لگاریتمی  $Yb$  در برابر  $V$ ,  $Sc$  برای بدست آوردن درصد ذوب بخشی در فوگاسیته متفاوت اکسیژن برای پریدوتیت‌های نائین

شکل ۱۲- مقایسه الگوی REE های پریدوتیت‌های نائین با پریدوتیت‌های مناطق دیگر



شکل ۱۲ - الگوی REE های پریدوتیت های نائین برای محاسبه درصد ذوب بخشی

## References

- Agard, P., Monie, P., Gerber, W., Omrani, J., Molinaro, M., Meyer, B., Labrousse, L., Vrielynck, B., Jolivet, L., Yamato, P., 2006- Transient, synobduction exhumation of Zagros blueschists inferred from P-T, deformation, time, and kinematic constraints: Implications for Neotethyan wedge dynamics, *Geophys. Res.* 111, B11401, doi:10.1029/2005JB004103.
- Arai, S., 1994 - Compositional variation of olivine-chromian spinel in Mg-rich magmas as a guide to their residual spinel peridotites, *Volcanology and Geothermal Research* 59 279-293.
- Arai, S., 1994- Characterization of spinel peridotites by olivine-spinel compositional relationships: review and interpretation. *Chemical geology*, 113 191-204.
- Arvin, M., Robinson, P.T., 1994- The petrogenesis and tectonic setting of lavas from the Baft ophiolitic mélange, southwest of Kerman, Iran. *Can. Earth Sciences*, 31, 824-834.
- Arvin, M., Shokri, E., 1997- Genesis and eruptive environment of basalts from the Gogher ophiolitic mélange, southwest of Kerman, Iran. *Ophioliti*, 22, 175-182.
- Babaie, H. A., Ghazi, A. M., Babaei, A., La Tour, T.E., Hassanipak, A. A., 2001- Geochemistry of arc volcanic rocks of the Zagros Crush Zone, Neyriz, Iran, *Asian Earth Sci*, 19, 61-76.
- Berberian, M., King, G. C. P., 1981- Towards a paleogeography and tectonic evolution of
- Brey,G. P. & Kohler, T.,1990- Geothermobarometry in fourphaselherzolites,II,New thermobarometers, and practicalassessment of existing thermobarometers, *Petrol.*, 31, 1353-1378.
- Cannat, M., 1996- How thick is the magmatic crust at slow spreading ridges?, *Geophys. Res.* 101, 2847-2857.
- Coleman, R.J., 1977- Ophiolite. Springer, New York.
- Davoudzadeh, M., 1972- geology and petrology of the area North of Nain, Central Iran. Rep.No.1.
- Dick, H. J. B., Bullen, T., 1984- Chromaian spinel as a petrogenetic indicator in abyssal and alpine-type peridotites and spatially associated lavas. *Contributions to Mineralogy and Petrology*, 8654-76.
- Ghazi, A. M., Hassanipak, A. A., 2000- Petrology and geochemistry of the Shahr-Babak ophiolite, Central Iran. Geological Survey of America, Special paper, 349, 485-497.
- Girardeau, J., Francheteau, J., 1993- Plagioclase-wehrlite and peridotites on the East Pacific Rise (Hess Deep) and the Mid-Atlantic, Ridge (DSDP Site 334): evidence for magma percolation in the oceanic upper mantle. *Proc. Ocean Drill. Prog: Sci. Res.* 115, 137-149.
- Girardeau, J., Monnier, C., Lemee, L., Quatrevaux, F., 2002- The Wuqbah peridotite, central Oman ophiolite: Petrological characteristics of the mantle in a fossil overlapping ridge setting. *Marine Geophys. Res.* 23, 43-56.
- Godard, M., Jousselin, D., Bodinier, J. L., 2000- Relationships between geochemistry and structure beneath paleo-spreading center: a study of the mantle section in the Oman ophiolite. *Earth Planet. Sci. Lett.* 180, 133-148.
- Ionov, D. A., Bodinier, J. L., Mukasa, S. B., Zanetti, A., 2002- Mechanismsand sources of mantle metasomatism: major and trace element conditionsof peridotite xenoliths from Spitzbergen in the context of numerical modeling. *Petrol.* 43/12.
- Iran. Can. J. Earth Sciences 18, 210-265.
- Jin, Z.A., Green, H.W., Zhou, Y., 1994- Melt topology in partially molten mantle peridotite during ductile deformation, *Nature*,372:164-1670.
- Kepezhinskas, P. K., Defant M. J., Drummond, M.S., 1995- Na metasomatism in the island-arc mantle by slab melt-peridotite interaction: evidence from mantle xenoliths in the North Kamchatka arc. *Journal of Petrology* 36 1505-1527.
- Kinzler, R.J., 1997- Melting of mantle peridotite at pressures approachingthe spinel to garnet transition: application to midocean ridge basaltpetrogenesis, *Geophys. Res.* 102, 853-874.
- Li, C. N., 1992- Petrology of Igneous Trace Elements. China University of Geosciences Press, Wuhan(in Chinese) .
- Meschede, M., 1986- A method of discriminating between different types of mid-ocean ridge basalts and continental tholeiites with the Nb-Zr-Y diagram, *Chemical Geology*, 56 207-218.
- Nicolas, A., 1989- Structure of ophiolites and dynamics of oceanic lithosphere, Kluwer Academic publishers.
- Nicolas, A., Prinzhofner A., 1983- Cumulative or residual origin for the transition zone in ophiolites., *Jurnal of structural evidence*, 24 188-206 .
- Niu, Y., Hekimian, R., 1997- Basaltic liquids and harzburgitic residues in the Garrett Transform: a case study at fast-spreading ridges, *Earth Planet. Sci. Lett.* 146, 243-258.
- Pearce, J. A ., 1996- A users guide to basalt discrimination diagrams.In: Wyman D. A.(Ed.), *Trace Element Geochemistry of Volcanic Rocks: Applications for Massive Sulphid Exploration*, Short Course Notes-Geol. Assoc.Can., Vol.12pp.79-113.
- Pearce, J. A., Parkinson, I. J., 1993- Trace element models for mantle melting: application to volcanic arc petrogenesis. In: Prichard H.M.,Alabaster T.,Harris N.B., Neary C. R.(Eds.), *Magmatic Processes and Plate Tectonics*. Geological Society of London, Special Publication, vol.79, pp.373-403.
- Sachslleben, T. h. and Seck,H. A., 1981- Chemical control of Al-solubility in orthopyroxene and its implications on pyroxene geothermometry Contributions to Mineralogy and Petrology, 78,157-165.
- Saunders, A., Tarney, J., 1991- Back-arc basins. In: Floyd, P.A. (Ed.), *Oceanic basalts*, Blackie and Son Ltd., 219-263.
- Shahabpour, J., 2004- Tectonic evolution of the orogenic belt in the region located between Kerman and Neyriz, *Asian Earth Sci*. 24 ,405-417.
- Shervais, J. W., 1982- Ti-V plots and the petrogenesis of modern and ophiolitic lavas. *Earth Planet.Sci. Lett.* 59 101-118.
- Taylor, W. R., 1998- An experimental test of some geothermometer and geobarometer formulations for upper mantle peridotites with application to the thermobarometry of fertile lherzolite and garnet websterite. *Neues Jahrbuch für Mineralogie, Abhandlungen*, 172, 381-408.
- Winchester, J. A ., Floyd, P. A., 1977- Geochemical discrimination of different magma series and their differentiation products using immobile elements, *Chemical geology*, 20325-343.
- Wood, D. A., 1980- The application of a Th-Hf-Ta diagram to problems of tectonomagmatic classification and to establishing the nature of crustal contamination of basaltic lavas of the British Tertiary volcanic province. *Earth Planet. Sci. Lett.*,50 11-30.